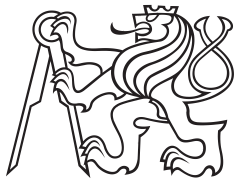


Diplomová práce



České
vysoké
učení technické
v Praze

F3

Fakulta elektrotechnická
Katedra kybernetiky

Zrychlení lokalizace pomocí knihovny InLoc

Bc. Martin Sebera

Vedoucí: Ing. Michal Polic
Studijní program: Otevřená informatika
Specializace: Počítačové vidění a digitální obraz
Leden 2022

Poděkování

Následujícím děkuji:

- vyučujícím
- své rodině
- spolužákům
- bývalým spolužákům
- spolubydlícím
- ostatním přátelům
- kolegům Strahov

za to, že mi během mého studia pomáhali a tvořili příjemné prostředí.

Prohlášení

Prohlašuji, že jsem předloženou práci vypracoval samostatně a že jsem uvedl veškeré použité informační zdroje v souladu s Metodickým pokynem o dodržování etických principů při přípravě vysokoškolských závěrečných prací.

V Praze, 4. ledna 2022

Abstrakt

Lokalizace je úloha, která řeší odhad pózy kamery (tj. střed kamery a rotaci). Tato práce se zaměřuje na algoritmus InLoc, který implementuje vizuální lokalizaci pro zmapovaná vnitřní prostředí. Analyzuje původní implementaci InLocu, tj. jeho jednotlivé části a jejich výkonnost. Na závěr popisuje a nabízí zlepšení, konkrétně převod z výzkumné verze do produkční a zrychlení nejpomalejších částí pomocí přepisu do C++)

Klíčová slova: lokalizace, InLoc, C++, Matlab

Vedoucí: Ing. Michal Polic

Abstract

Localization is a task that solves camera pose estimation (e.g., camera center and rotation). This thesis focuses on the InLoc algorithm that implements visual localization for mapped indoor environment. It analyses the original implementation of InLoc, e.g. the performance of particular parts. In conclusion, it describes potential improvements, specifically reimplementation of research version into the production version and performance improvement (the least efficient part will be reimplemented in C++).

Keywords: localization, InLoc, C++, Matlab

Title translation: Speedup the localization by InLoc method

Obsah

| | | | |
|--|-----------|---|-----------|
| Pseudokódy | 1 | 3.2 Nový formát matice skóre | 20 |
| 1 Úvod | 3 | 3.3 Reorganizace skriptů | 20 |
| 1.1 Výhody a nevýhody lokalizace ze snímku | 4 | 3.3.1 buildScores | 20 |
| 1.2 Motivace | 5 | 3.3.2 getFeatures1Query | 21 |
| 1.2.1 Převod na produkční verzi . . . | 5 | 3.4 Možnosti ladění | 21 |
| 1.2.2 Výkon Matlabu | 6 | 3.5 Význam produkční verze | 22 |
| 2 Algoritmus InLoc | 7 | 3.6 Souhrnné schéma produkční verze | 24 |
| 2.1 Princip lokalizace | 7 | 4 Zrychlení produkční verze pomocí C++ a GPU | 25 |
| 2.2 Databázové snímky (datasety) . . . | 8 | 4.1 Knihovny MEX | 25 |
| 2.3 Přehled kroků | 9 | 4.1.1 Implementace MEX v C | 26 |
| 2.3.1 Přípravné kroky | 9 | 4.1.2 Implementace MEX v C++ | 26 |
| 2.3.2 Kroky algoritmu | 11 | 4.1.3 Kompilace MEX | 27 |
| 2.4 Souhrnné schéma původní testovací verze | 18 | 4.2 Výběr vhodných částí k přepisu do C++ | 27 |
| 3 Převod testovací verze na produkční | 19 | 4.3 Výběr matematických knihoven | 28 |
| 3.1 Oddělení role databázového a dotazového snímku | 19 | 4.3.1 Specifikace BLAS | 29 |
| | | 4.3.2 Knihovna cuBLAS | 29 |
| | | 4.3.3 Knihovna MKL | 30 |

| | | | |
|---|-----------|---|-----------|
| 4.3.4 Knihovna Eigen | 31 | 6.2.5 Experiment - vliv velikosti datasetu na přesnost (m=20).... | 65 |
| 4.4 Popis funkce at_dense_tc | 32 | 6.3 Vyhodnocení | 66 |
| 4.4.1 Test správnosti převodu do C++..... | 35 | 7 Experimenty | 69 |
| 4.5 CUDA | 37 | 7.1 Prostředí běhu | 69 |
| 5 Chyby a nevýhody současného InLocu | 39 | 7.1.1 Výhody práce na clusteru CIIRC | 69 |
| 5.1 Chybné odhady s různými datasety | 39 | 7.1.2 Nevýhody práce na clusteru . | 70 |
| 5.2 Různé chyby | 52 | 7.1.3 Rezervace výpočetního výkonu pomocí Slurm | 70 |
| 6 Zrychlení algoritmu zvětšením datasetu a snížením m | 59 | 7.2 Způsob měření výkonu | 72 |
| 6.1 Měření přesnosti odhadu pózy .. | 59 | 7.3 Výkon Matlabu..... | 72 |
| 6.2 Postupné snižování m | 60 | 7.4 Profilace produkční verze (bez paralelního kódu) | 73 |
| 6.2.1 Experiment - vliv velikosti datasetu na přesnost (m=100)... | 61 | 7.5 Profilace produkční verze (s paralelním kódem) | 74 |
| 6.2.2 Experiment - vliv velikosti datasetu na přesnost (m=80).... | 62 | 7.6 Profilace zrychlené produkční verze (s paralelním kódem) | 75 |
| 6.2.3 Experiment - vliv velikosti datasetu na přesnost (m=60).... | 63 | 7.7 Výběr nejlepší implementace get_tcs..... | 75 |
| 6.2.4 Experiment - vliv velikosti datasetu na přesnost (m=40).... | 64 | 8 Závěr | 81 |
| | | 8.1 Úpravy implementace algoritmu | 81 |

| | |
|--|-----------|
| 8.2 Zrychlení upravené implementace | 82 |
| 8.3 Typické chyby InLocu | 82 |
| 8.4 Souvislost mezi velikostí databáze a snížením hodnoty m | 83 |
| A Literatura | 85 |
| B Zdrojové kódy | 87 |
| C Zadání práce | 89 |

Obrázky

| | |
|---|----|
| 1.1 Vstupy a výstupy algoritmu InLoc. | 4 |
| 2.1 Ukázka databázového snímku a jeho hloubkové mapy. Snímek pochází z datasetu [1]. | 9 |
| 2.2 Ilustrace skriptu ht_top100_densePE_localization: hledání tentativních korespondencí mezi lokálními popisnými vektory pomocí popisných tensorů dvou různých rozlišení. | 15 |
| 2.3 Souhrnné schéma původní testovací verze algoritmu InLoc | 18 |
| 3.1 Souhrnné schéma produkční verze algoritmu InLoc | 24 |
| 4.1 Rozdělení výpočtu tentativních korespondencí mezi CPU, cuBLAS a kernel CUDA | 38 |
| 5.1 Porovnání přesnosti pro první a devátý dataset (261 a 2088 snímků). Chyba pro velký dataset je u většiny dotazů nižší. Velký dataset se také mnohem méně dopouští selhání, při kterých nepřesnost lokalizace dosáhne několika metrů. | 40 |
| 5.2 Nejmenší dataset (261 snímků) se dopustil nejvíce selhání. U druhého datasetu (391 snímků) došlo k nižšímu počtu selhání, nebo selhání dosáhla alespoň o něco nižší nepřesnosti. Významné zhoršení přesnosti nastalo u 7,5% dotazových snímků. Dotaz č. 40 dosáhl násobného zhoršení, proto je diskutován níže. | 41 |
| 5.3 Výběr nejlepších databázových snímků RGB-D pro dotaz 40 při použití datasetu o velikosti 261 snímků. U každého snímku je uvedeno skóre podobnosti s dotazovým snímkem. Nejvíce se na tvorbě skóre podílí počet inlierů. Výpočet tohoto skóre je popsán v sekci 2.1 | 42 |
| 5.4 Výběr nejlepších databázových snímků RGB-D pro dotaz 40 při použití datasetu o velikosti 391 snímků. U každého snímku je uvedeno skóre podobnosti s dotazovým snímkem. Nejvíce se na tvorbě skóre podílí počet inlierů. Výpočet tohoto skóre je popsán v sekci 2.1 | 43 |
| 5.5 Výběr nejlepších syntetických snímků pro dotaz 40 při použití datasetu o velikosti 261 snímků. U každého syntetického snímku je uvedeno skóre podobnosti s dotazovým snímkem. Výpočet skóre podobnosti syntetického snímku s dotazovým je popsán v rovnici 2.2 | 44 |

| | | | |
|--|----|---|----|
| 5.6 Výběr nejlepších syntetických snímků pro dotaz 40 při použití datasetu o velikosti 391 snímků. U každého syntetického snímku je uvedeno skóre podobnosti s dotazovým snímkem. Výpočet skóre podobnosti syntetického snímku s dotazovým je popsán v rovnici 2.2 | 45 | 5.14 Osmý dataset (1827 snímků). Významné zhoršení přesnosti nastalo u 5% dotazových snímků. | 51 |
| 5.7 Třetí dataset (522 snímků) opět snížil počet selhání a některá selhání alespoň výrazně zredukoval. 12,5% dotazových snímků bylo lokalizováno s významným zhoršením přesnosti. | 46 | 5.15 Devátý dataset (2088 snímků) zlepšil celou řadu dotazů. Významné zhoršení přesnosti nenastalo u žádného dotazového snímku. | 51 |
| 5.8 Dotazový snímek 35 a nejpodobnější syntetické snímky při použití datasetu o velikosti 391 snímků. | 47 | 5.16 Pro stejný dotazový snímek byl v každém běhu algoritmu s jiným datasetem vybrán jiný syntetický snímek s nejnižším mediánem chyby deskriptoru DSIFT. | 53 |
| 5.9 Dotazový snímek 35 a nejpodobnější syntetické snímky při použití datasetu o velikosti 522 snímků. | 48 | 5.17 Stejný dotazový snímek, ale zcela odlišné syntetické snímky ze dvou různých míst. Pro dataset o velikosti 1827 se lokalizace zdařila, pro dataset o velikosti 2088 selhala. Vybraný syntetický snímek dosáhl nižšího mediánu chyb deskriptoru DSIFT, a proto byl vybrán. | 54 |
| 5.10 Čtvrtý dataset (783 snímků). Významné zhoršení přesnosti nastalo u 7,5% dotazových snímků. | 49 | 5.18 Krok geometrické verifikace dopadl úspěšně. Pro datasety 1827 a 2088 byly vybrány téměř stejné databázové snímky RGB-D. Prvních několik snímků bylo v identickém pořadí se stejným skóre (obrázek ukazuje první tři). RGB-D snímky s nejvíce inliery pochází ze stejného místa jako dotazový snímek | 55 |
| 5.11 U pátého datasetu (1044 snímků) se projevilo významné zhoršení chyb u 12,5% dotazových snímků. | 49 | 5.19 Dotazový snímek a výběr pěti syntetických snímků s nejvyšším skóre podobnosti. | 56 |
| 5.12 Šestý dataset (1305 snímků). Významné zhoršení přesnosti nastalo u 5% dotazových snímků. | 50 | | |
| 5.13 Sedmý dataset (1566 snímků). Významné zhoršení přesnosti nastalo u 7,5% dotazových snímků. | 50 | | |

| | |
|--|----|
| 5.20 Dotazový snímek, mediány chyb a mapy chyb pro dva nejlépe hodnocené syntetické snímky. Medián chyb pro chybný syntetický snímek je 0,878, zatímco pro správný syntetický snímek 0,907. | 57 |
| 7.1 Porovnání výkonu at_dense_tc s variantami get_tcs na malé úloze . | 76 |
| 7.2 Porovnání výkonu at_dense_tc s variantami get_tcs na malé úloze . | 77 |
| 7.3 Porovnání výkonu at_dense_tc s variantami get_tcs na středně velké úloze | 78 |
| 7.4 Porovnání výkonu at_dense_tc s variantami get_tcs na velké úloze . | 79 |

Tabulky

| | |
|---|----|
| 6.1 Vliv velikosti datasetu na přesnost odhadu pózy. Tabulka ukazuje vzdálenost středu odhadnuté kamery od skutečného středu kamery. Mezi nejmenším a největším datasetem skutečně došlo ke zlepšení, ale při postupném zvětšování datasetu se občas přesnost zhoršila. Mohou za to náhodné chyby popsané v předešlé kapitole. | 61 |
| 6.2 Vliv velikosti datasetu na přesnost odhadu pózy. Tabulka ukazuje rotační vzdálenost skutečné rotace kamery a odhadnuté rotace kamery. | 61 |
| 6.3 Vliv velikosti datasetu na přesnost odhadu pózy. Tabulka ukazuje vzdálenost středu odhadnuté kamery od skutečného středu kamery. | 62 |
| 6.4 Vliv velikosti datasetu na přesnost odhadu pózy. Tabulka ukazuje rotační vzdálenost skutečné rotace kamery a odhadnuté rotace kamery. | 62 |
| 6.5 Vliv velikosti datasetu na přesnost odhadu pózy. Tabulka ukazuje vzdálenost středu odhadnuté kamery od skutečného středu kamery. | 63 |
| 6.6 Vliv velikosti datasetu na přesnost odhadu pózy. Tabulka ukazuje rotační vzdálenost skutečné rotace kamery a odhadnuté rotace kamery. | 63 |

| | | | |
|---|----|--|----|
| 6.7 Vliv velikosti datasetu na přesnost odhadu pózy. Tabulka ukazuje vzdálenost středu odhadnuté kamery od skutečného středu kamery. | 64 | 7.4 Profilace zrychlené produkční verze. Tučným písmem jsou vyznačeny části, kde došlo díky nové implementaci ke zrychlení. | 75 |
| 6.8 Vliv velikosti datasetu na přesnost odhadu pózy. Tabulka ukazuje rotační vzdálenost skutečné rotace kamery a odhadnuté rotace kamery. | 64 | | |
| 6.9 Vliv velikosti datasetu na přesnost odhadu pózy. Tabulka ukazuje vzdálenost středu odhadnuté kamery od skutečného středu kamery. | 65 | | |
| 6.10 Vliv velikosti datasetu na přesnost odhadu pózy. Tabulka ukazuje rotační vzdálenost skutečné rotace kamery a odhadnuté rotace kamery. | 65 | | |
| 6.11 Vliv velikosti datasetu na přesnost odhadu pózy. Tabulka ukazuje vzdálenost skutečného středu kamery od odhadnutého v metrech. | 66 | | |
| 6.12 Vliv velikosti datasetu na přesnost odhadu pózy. Tabulka ukazuje rotační vzdálenost skutečné rotace kamery a odhadnuté rotace kamery. | 66 | | |
| 7.1 Ukazuje výkony vybraných operací, pokud jsou provedeny maticově (tj. zpracují se všechna data najednou), nebo jsou provedeny pomocí for cyklu. | 73 | | |
| 7.2 Profilace nezrychlené produkční verze, jedno vlákno. | 74 | | |
| 7.3 Profilace produkční verze. | 74 | | |



Pseudokódy

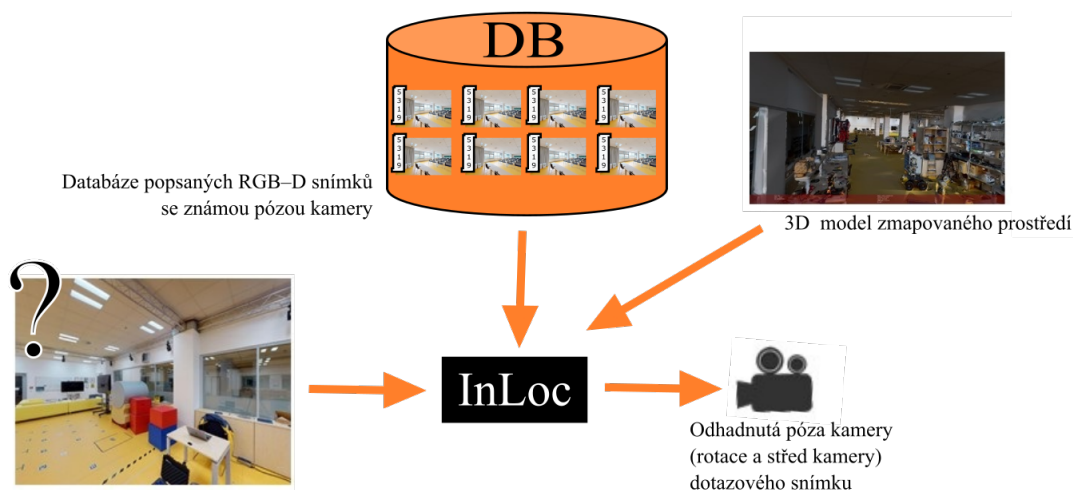
| | | |
|---|---|----|
| 1 | ht_retrieval (původní výzkumná implementace) | 12 |
| 2 | ht_top100_densePE_localization (původní výzkumná implementace) | 14 |
| 3 | ht_top10_densePV_localization (původní výzkumná implementace) | 16 |
| 4 | Způsob vyhodnocení tentativních korespondencí mezi jedním dotazovým a mnoha databázovými snímky | 36 |



Kapitola 1

Úvod

InLoc je lokalizační algoritmus určený pro vnitřní prostředí odhadující pózu kamery (tj. souřadnice místa pořízení snímku a rotaci kamery) z jednoho (předem neznámého) dotazového snímku (query image). Odhad pózy kamery, tj. rotace a translace, je vypočítána na základě porovnání dotazového snímku s předem známými RGB-D snímky v databázi (RGB-D je RGB obraz + hloubka, tj. pro každý pixel známe jeho Eukleidovskou vzdálenost od středu kamery). U RGB-D snímků v databázi je póza kamery známa. Při výpočtu se nejdříve aplikuje konvoluční neuronová síť NetVLAD pro hledání podobných snímků. Husté korespondence se mezi snímky ověří pomocí homografií odhadnutých algoritmem DEGENSAC. Na základě vypočtených korespondencí se odhadne pomocí algoritmu PnP pozice kamery. Na závěr se vygenerují syntetické snímky a porovnají se s dotazovým snímkem. Tímto způsobem získáme finální pořadí, tj. vybereme pózu kamery vedoucí k nejmenší chybě DSIFT mezi dotazovým a syntetickým snímkem [1].



Obrázek 1.1: Vstupy a výstupy algoritmu InLoc.

1.1 Výhody a nevýhody lokalizace ze snímku

Lokalizace ze snímku má jen dva vstupy, tj. dotazový snímek a mapu prostředí reprezentovanou databází RGB-D snímků, pro něž je póza kamery známá. Proto je lokalizace ze snímku použitelná i tam, kde není dostupná GPS, zejména ve vnitřních prostorách. Prostory ani není potřeba pro lokalizační účely nijak upravovat. Oproti lokalizaci pomocí GPS nabízí lokalizace ze snímku podstatně lepší přesnost a navíc dokáže určit i rotaci kamery. Tyto algoritmy lze využít i pro jiné než lokalizační účely, např. v aplikacích virtuální reality [1] (promítání virtuálních objektů do skutečného prostoru vyžaduje velkou přesnost), nebo v aplikacích pro mapování prostředí do 3D mapy.

Lokalizace ze snímku má své limity a omezení. Je nutné vybudovat rozsáhlý dataset RGB-D snímků s přesnou pózou kamery. Tato lokalizace selhává v málo členitých prostředích (např. chodby, prázdné místnosti se stěnami bez textur apod.), může selhávat, pokud se dříve zmapované prostředí příliš změní (byly přemístěny některé předměty, nábytek apod.) a může být citlivá na změnu osvětlení (např. denní světlo se vymění za umělé osvětlení). Dále selhává v prostředích, kde se vyskytuje více vizuálně podobných míst (např. více chodeb se stejným rozmístěním dveří apod.) Lokalizace ze snímků pomocí algoritmu InLoc také není vhodná pro systémy reálného času, jako jsou například samořídící auta, jelikož současné implementace vyhodnocují několik časově náročných kroků.

1.2 Motivace

Algoritmus InLoc vyhodnocuje několik výpočetně náročných kroků, mimo jiné vyhledání podobných snímků, hledání tentativních korespondencí, popis dotazového snímku, nebo renderování 3D modelu. Algoritmus navíc klade důraz na přesnost, čímž výpočetní náročnost ještě stoupá (předpokládá výběr více podobných snímků z databáze a renderování více 3D modelů, čímž vzniká více výpočtů nutných pro odhad pózy kamery).

Současná implementace InLocu [2] byla s výjimkou několika funkcí napsána v Matlabu. Jedná se o interpretovaný jazyk, tj. kódy se nekompilují do spustitelných binárních souborů, ale jsou vyhodnocovány interpretem při každém spuštění. Z toho vyplývá nižší výkon kvůli nemožnosti optimalizovat zdrojový kód, času potřebnému k interpretaci příkazů a správě pracovního prostoru. Na druhou stranu, Matlab interně využívá optimalizované matematické operace knihovny MKL. Matematické operace s velkými objemy dat dokáží nevýhody interpreteru vyvážit, protože práce s daty, která se provádí ve zkompileovaných knihovnách, zabere řádově více času než interpretace příkazů. Nicméně interpretované jazyky jsou pomalé, pokud je zapotřebí využít v kódu cykly, nebo mnoho příkazů s malými objemy dat.

Součástí práce je odhalení nejpomalejších částí kódu a jejich zrychlení vhodným přepisem do jazyka C++. Aby byl algoritmus připraven pro reálné využití, je nutné převést současnou testovací verzi na produkční verzi. Ta navíc může sloužit jako prototyp a předloha pro další implementace algoritmu InLoc v navazujících pracích.

1.2.1 Převod na produkční verzi

Současná implementace [2], tak jak byla publikována, nesimuluje reálné využití algoritmu, a to z těchto důvodů:

1. Na vstupu jsou dvě předem známé množiny: databázové snímky RGB-D a rozsáhlá sada dotazových snímků. Při reálném využití jsou známy jen databázové snímky RGB-D a dotazový snímek je vždy předem neznámý. V produkční verzi tedy bude potřeba oddělit roli databázových a dotazových snímků.
2. V přípravném kroku pro popis snímků (skript buildFeatures) se ještě

před spuštěním algoritmu musí pomocí metody NetVLAD vypočítat popisné vektory pro všechny databázové snímky i pro všechny dotazové snímky. Při reálném využití je dotazový snímek vždy předem neznámý, a proto není možné jej předem popsat. Výpočet popisného vektoru dotazového snímku se musí stát součástí algoritmu, neboť dotazový snímek je vstupem algoritmu.

3. Pro každý předem známý dotazový snímek se spočítá jeho skóre podobnosti s každým databázovým snímkem již v přípravném kroku (skript `buildScores`) ještě před spuštěním samotného algoritmu. V reálném využití je výpočet podobností předem neznámého dotazového snímku nutnou součástí samotného algoritmu a následuje hned po spočítání popisu dotazového snímku.
4. Algoritmus je rozdělen do několika nezávislých kroků tak, že se v každém mezikroku ukládají mezivýsledky do souborů, aby bylo možné je v dalším kroku načíst. Proto je možné spustit jen některé části algoritmu. To je vhodné pro testovací a výzkumné účely, kde se zkouší jednotlivé části. V reálném využití poběží celý lokalizační algoritmus vždy od začátku do konce bez opakovaného ukládání a načítání mezivýsledků.

Implementace algoritmu bude ještě před měřením výkonu a následném zrychlení upravena podle těchto bodů tak, aby se více přiblížila reálnému využití.

1.2.2 Výkon Matlabu

Matlab je interpretovaný jazyk, tj. příkazy nejsou spouštěny přímo na procesoru, ale interpretace každého příkazu stojí nějaký čas. Samotný výpočet se často provádí pomocí zkompileovaných knihoven, které Matlab interně využívá. Z toho plyne fakt, že Matlab je optimalizován na hromadné zpracování dat, tj. maticové výpočty, při kterých interpretace příkazu trvá řádově kratší dobu než samotný výpočet ve zmíněných zkompileovaných knihovnách. Oproti tomu je využívání for cyklů, jejichž důsledkem je interpretace velkého množství drobných operací, řádově pomalejší. Experiment 7.3 porovnává výkon Matlabu s využitím maticových operací s použitím for cyklů.

Kapitola 2

Algoritmus InLoc

V této kapitole je popsán princip fungování algoritmu a původní testovací implementace v Matlabu.

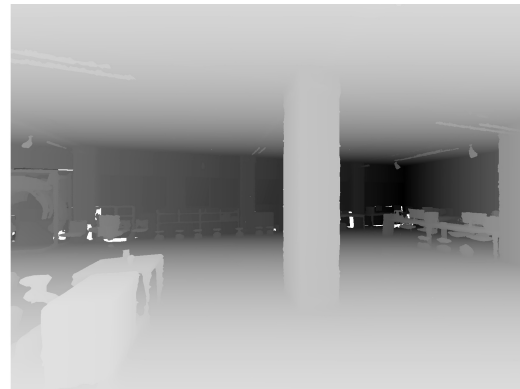
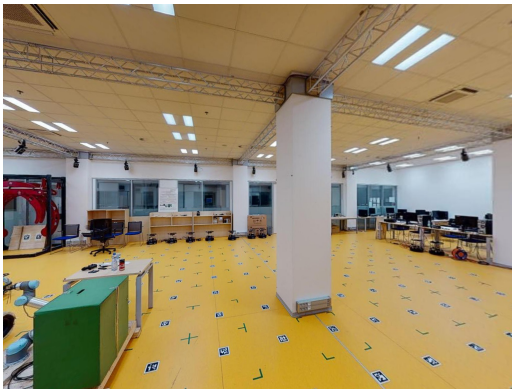
2.1 Princip lokalizace

Dohoda: Označme počet dotazových snímků proměnnou q , počet databázových snímků proměnnou d . Množina databázových snímků bude značena ID a množina dotazových IQ .

Typicky bývá $d \gg q$, protože pomocí databázových snímků je nutné kvalitně zmapovat celý prostor, kde se bude InLoc používat. V reálném využití uvažujeme $q = 1$. Algoritmus dostane na vstupu dotazové snímky $\{I_1, I_2, I_3, \dots, I_q\}$, kde $I_i \in IQ$, u kterých je potřeba určit pózu kamery (tj. střed kamery C a rotaci R). Implementace se dá shrnout do následujících kroků:

1. InLoc pro každý dotazový snímek najde m nejpodobnějších snímků z databáze, takže každý dotazový snímek $I_i \in IQ$ bude mít přiřazenou množinu vybraných databázových snímků IDM_i tak, že $IDM_i \subseteq ID$ ($i \in 1, 2, \dots, q$) Podobnost je měřena pomocí $skóre_1$ 2.3. Výběr snímků se bude postupně zpřesňovat geometrickou verifikací a fotometrickou verifikací.)

středu kamery. Pomocí těchto snímků je tak možné reprezentovat 3D mapu známého prostředí. V této práci se používají snímky, které byly pořízeny v prostorách budovy CIIRC [1]. Algoritmus InLoc byl testován na čtyřech (v některých částech práce na devíti) datasetech s různou velikostí. Největší dataset obsahuje 2088 snímků, nejmenší 261 snímků. Větší dataset v sobě obsahuje vždy celý menší dataset a přidává další RGB-D snímky navíc. Každý dataset mapuje známé prostředí (prostory CIIRCu), ale kvalita zmapování se liší dle počtu obsažených snímků. V této práci bude popsán vliv velikosti databáze na přesnost odhadu pózy kamery.



Obrázek 2.1: Ukázka databázového snímku a jeho hloubkové mapy. Snímek pochází z datasetu [1]

2.3 Přehled kroků

Výše bylo ve zkratce popsáno šest kroků, jak InLoc funguje. V této části jsou detailně popsány skripty, ze kterých se InLoc skládá a které se spouští v uvedeném pořadí. Skripty víceméně korespondují s výše popsanými kroky.

2.3.1 Přípravné kroky

Nesouvisí přímo s algoritmem InLoc, ale připraví předpočítanou reprezentaci databázových snímků [4], která bude později využívána při hledání nejbližších sousedů.

1. **buildFeatures** - každý dotazový i databázový snímek se zpracuje neuronovou sítí NetVLAD. Výsledkem je vektor (feature), jehož cílem je jed-

noznačně popsat daný snímek vektorem reálných čísel délky $f = 32768$.

2. **buildScores** - spočítá skóre pro každou dvojici snímků ($I_1 \in IQ, I_2 \in ID$).

■ Popis snímků (skript buildFeatures)

Důležitým krokem algoritmu je hledání podobných snímků. Abychom mohli hledat snímky pořízené ze stejného místa, nemůžeme přímo porovnávat hodnoty intenzit pixelů, ale potřebujeme extrahovat důležitou informaci o podobnosti struktur ve snímcích obsažených. Této úloze se říká "image retrieval" a řeší jí řada algoritmů, např. BoW, VGG, VLAD, NetVLAD a další. InLoc využívá metodu NetVLAD [5] [6], která pracuje ve dvou krocích:

1. Konvoluční síť VGG16, kterou používá NetVLAD, vygeneruje pro každý snímek na šesti vrstvách popisné matice reálných čísel typu float, přičemž algoritmus InLoc využívá pouze třetí a pátou vrstvu. Na třetí vrstvě má matice rozměr 150x200x256, na páté vrstvě má rozměr 75x100x512.
2. Tyto popisné matice zpracuje VLAD (vectors of locally aggregated descriptors). Na výstupu je vektor o délce f (f je dimenze deskriptorů). Algoritmus InLoc standardně používá dimenzi $f = 32768$

Tento algoritmus je realizován ve skriptu buildFeatures. Skript nalezne popisný vektor stejné délky pro každý dotazový snímek i každý snímek z databáze. Podle popisných vektorů se bude měřit podobnost mezi snímky. Ke každému snímku (dotazovému i databázovému) se přiřadí deskriptivní vektor čísel stejné délky (\mathbb{R}^f). Tento vektor se následně použije pro výpočet obodování.

Vstupem jsou databázové snímky ($d \times$ soubor typu .jpg) a dotazové snímky ($q \times$ soubor typu .jpg)

Výstupem jsou extrahované popisné vektory o délce f pro každý dotazový i databázový snímek.

■ Výpočet matice skóre (skript buildScores)

Skóre dvojice (I_1, I_2) , kde $I_1 \in IQ$ a $I_2 \in ID$, je reálné číslo z oboru $\langle 0; 1 \rangle$. Čím vyšší skóre, tím podobnější snímky.

Matice skóre: Mějme množinu dotazových snímků $IQ = \{I_{Q1}, I_{Q2}, \dots, I_{Qq}\}$ a množinu databázových snímků $ID = \{I_{D1}, I_{D2}, \dots, I_{Dd}\}$.

Nechť $F_Q \in \mathbb{R}^{f \times q}$ a $F_D \in \mathbb{R}^{f \times d}$ jsou popisné vektory všech dotazových i databázových snímků extrahované sítí NetVLAD (normalizované vektory reálných čísel stejné délky f uspořádané do matic).

$$skóre_1 = softmax_columnwise(F_Q^T F_D) \in \mathbb{R}^{q \times d} \quad (2.3)$$

Funkce softmax ováží každý sloupec matice skóre tak, že se budou skládat pouze z nezáporných čísel a hodnoty každého sloupce se budou sčítat do 1.

Vstupem jsou popisné vektory pro každý dotazový i databázový snímek.

Výstupem je matice skóre obsahující skóre pro každou dvojici snímků, což je matice $\mathbb{R}^{q \times d}$

■ 2.3.2 Kroky algoritmu

Běh algoritmu byl rozdělen do tří navazujících skriptů, které jsou zde detailně popsány.

■ Výběr m nejpodobnějších snímků

Tuto úlohu vykonává skript `ht_retrieval`. Je potřeba znát matici obodování, kterou získáme voláním přípravného skriptu `buildScores` (2.3.1). Skript `ht_retrieval` pro každý dotazový snímek vybere m databázových snímků s nejvyšším obodováním. To znamená m nejpodobnějších databázových snímků ke každému dotazovému snímku. Jedná se o řazení řádků čísel (každý řádek

■ Odhad póz kamery

Tuto funkci vykonává skript `ht_top100_densePE_localization`. Pro každý dotazový snímek odhadne n póz kamery.

Načtou se předpočítané popisné vektory pro všechny dotazové a databázové snímky. Pro každý databázový snímek z vybrané podmnožiny m snímků provede geometrickou verifikaci, která zjistí počet inlierů mezi dotazovým snímkem a databázovým snímkem. Následně přičte ke skóre každého databázového snímku jeho počet inlierů. Vzhledem k tomu, že původní skóre je výstup ze softmaxu (a proto nemůže být žádné $skóre_1$ vyšší než 1), ve tvorbě $skóre_2$ je důležitější počet inlierů. Následně proběhne seřazení nejlepších m snímků dle tohoto nového skóre. Pro n databázových snímků s nejvyšším skóre odhadne pomocí algoritmu P3P pózu kamery.

Vstupem je `ImgList`, což je výstup z předešlého kroku. Přesněji:

- `ImgList` = $q \times$ struktura s informacemi o dotazovém snímku a podobných nalezených snímcích:
 - `queryname`: název souboru dotazového snímku
 - `topNname`: m textových hodnot (názvy m nejpodobnějších snímků)
 - `topNscore`: m čísel float - obodování m nejpodobnějších snímků

Výstupem je rozšířený `ImgList`:

- `ImgList` = $q \times$ struktura s informacemi o dotazovém snímku a podobných nalezených snímcích:
 - `queryname`: název souboru dotazového snímku
 - `topNname`: n textových hodnot (názvy n nejpodobnějších snímků)
 - `topNscore`: n čísel float - obodování n nejpodobnějších snímků
 - `Ps`: $n \times \mathbb{R}^{3 \times 4}$ - n odhadnutých póz

Skript je popsán v pseudokódu [2].

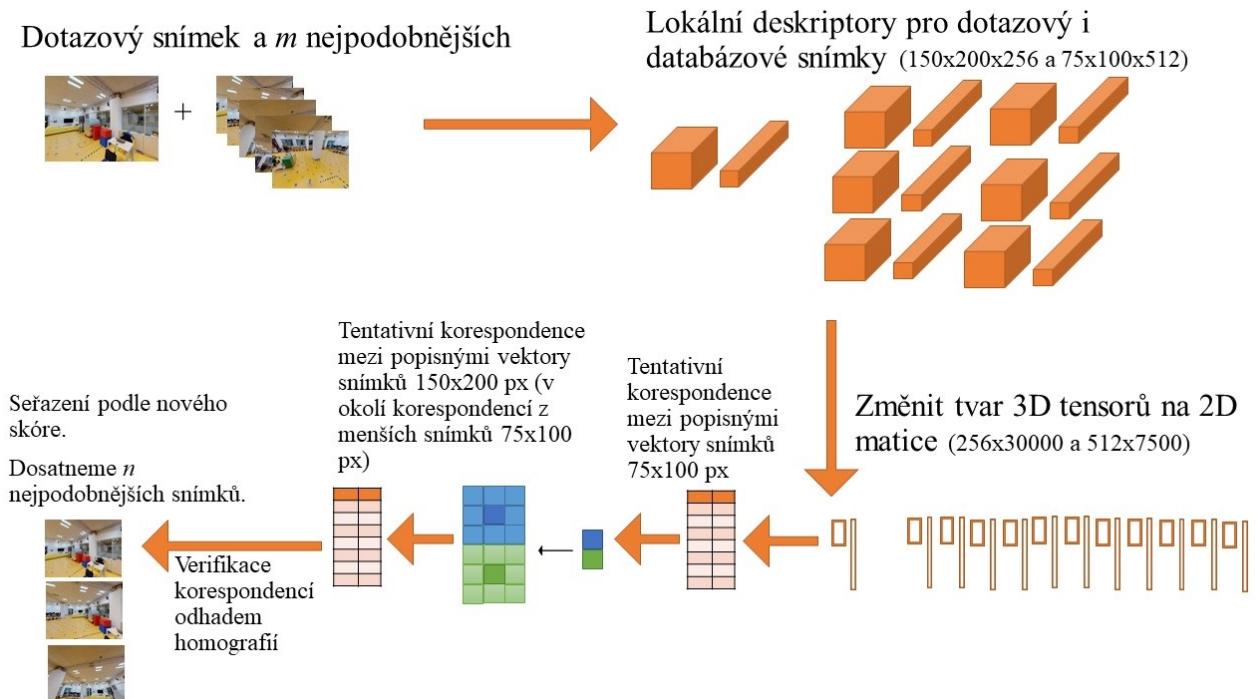
Pseudokód 2: ht_top100_densePE_localization (původní výzkumná implementace)

Vstup : ImgList (pro každý dotazový snímek m nejpodobnějších snímků)

Výstup : ImgList (pro každý dotazový snímek n nejpodobnějších snímků a n odhadnutých póz)

if *existuje_soubor(soubor_pro_imglist)* **then**
| načíst(soubor_pro_imglist);

else
| **for** *každý query snímek* $I_1 \in IQ$ **do**
| | **for** *každý i -tý ($i=1\dots m$) databázový nejpodobnější snímek* $I_2 \in IDM_i$ **do**
| | | gv = geometrická_verifikace (I_1, I_2);
| | | imgList[i].skóre += gv.počet_inlierů;
| | | imgList = seřadit_podle_skóre_sestupně(imgList);
| | | uložit(imgList);
| | | // zúžení výběru podle skóre $m \rightarrow n$
| | | imgList_topn = get_top_score(imgList, n);
| | | imgList_topn[i].Ps = p3p_odhadnout_n_poz(imgList, I_2);
| | | uložit(imgList_topn);
| | **end**
| **end**
end



Obrázek 2.2: Ilustrace skriptu `ht_top100_densePE_localization`: hledání tentativních korespondencí mezi lokálními popisnými vektory pomocí popisných tensorů dvou různých rozlišení.

■ Verifikace odhadnutých póz

Tuto úlohu vykonává skript `ht_top10_densePV_localization`. Syntetizuje snímky ze 3D modelů prostředí dle odhadnutých póz kamery (krok pro odhad póz popsán v sekci 2.3.2). Upraví dosavadní `ImgList` tak, že seřadí vybrané databázové snímky podle kvality odhadnuté pózy. Kvalita je měřena pomocí výsledného skóre verifikace póz, které je popsáno v rovnici (2.2).

Vstupy.

- `imgList` spočítaný krokem pro odhad póz kamer (sekce 2.3.2)

Výstupy. Modifikovaný `ImgList`. Přesněji:

- queryname: název souboru dotazového snímku
- topNname: $n \times \text{string}$ (názyvy n nejpodobnějších snímků)
- topNscore: $n \times \text{float}$ - obodování n nejpodobnějších snímků podle skóre vycházejícího z deskriptoru PHOW.
- Ps: $n \times \mathbb{R}^{3 \times 4}$ - n odhadnutých póz seřazených dle kvality

Detaily skriptu ht_top10_densePV_localization jsou popsány v pseudokódu [3]

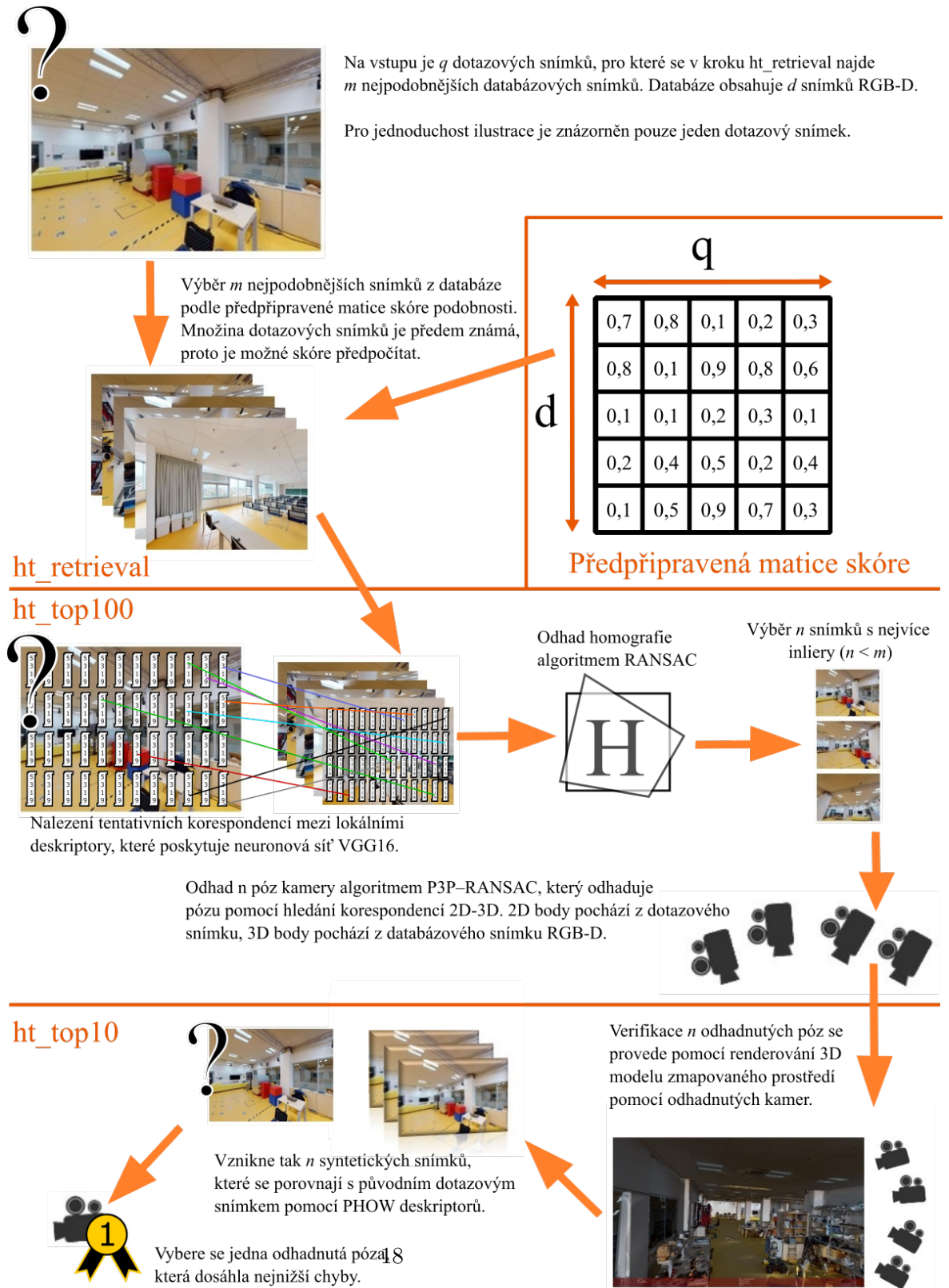
Pseudokód 3: ht_top10_densePV_localization (původní výzkumná implementace)

```

Vstup : ImgList (pro každý dotazový snímek  $n$  nejpodobnějších snímků a  $n$  odhadnutých póz)
Výstup : ImgList (pro každý dotazový snímek  $n$  nejpodobnějších snímků a  $n$  odhadnutých póz seřazeno podle přesnosti)
if existuje_soubor(soubor_pro_imglist) then
  | načíst(soubor_pro_imglist);
else
  | for každý query snímek  $I_1 \in IQ$  do
    | for každý  $i$ -tý ( $i=1..n$ ) nejpodobnější snímek  $I_2 \in ID$  do
      | [rgb_synth, xyz] = render3D(meshPath, camera_params);
      | // vektor rozdílů deskriptorů DSIFT
      | err = get_dsift_error( $I_1$ , rgb_synth);
      | score = 1 / median(err);
    | end
    | seřazené_imgs =
      | seřadit_podle_nového_skóre_sestupně(imgList);
    | uložit(seřazené_imgs);
  | end
end

```

2.4 Souhrnné schéma původní testovací verze



Obrázek 2.3: Souhrnné schéma původní testovací verze algoritmu InLoc

Kapitola 3

Převod testovací verze na produkční

Původní implementace algoritmu InLoc je vhodná pro výzkumné a testovací účely, ale špatně simuluje skutečné využití algoritmu. Tato kapitola popisuje nově vzniklou produkční implementaci, která simuluje reálný běh. Právě tato vzniklá verze bude spuštěna za účelem detailních profilací, což odhalí nejpomalejší části kódu a nabídne tak možné varianty k přepisu do C++. Tato práce tak poskytuje návazný bod pro budoucí produkční implementace InLocu mimo prostředí Matlab.

3.1 Oddělení role databázového a dotazového snímku

Ve výzkumné verzi byla množina dotazových snímků předem známá, což neodpovídalo potřebám reálného provozu, kde je známá pouze množina databázových snímků. V produkční verzi bude zvolen jiný přístup: množina dotazových snímků nebude z projektu odstraněna, bude se dále používat pro testování, ale změní se způsob práce s ní. Pro každý testovací běh algoritmu se zvolí právě jeden dotazový snímek, který bude považován za předem neznámý. Proto bude výpočet skóre podobnosti s databázovými snímky pro tento dotazový snímek zahrnut do algoritmu. Jinými slovy, skóre podobnosti mezi dotazovým a databázovými snímky nemůže být předpočítáno před spuštěním algoritmu.

■ 3.2 Nový formát matice skóre

Ve výzkumné verzi dávalo smysl předpočítat matici skóre kvůli urychlení testování dalších kroků. Toto v reálném provozu není možné. Dotazový snímek je pouze jeden a je předem neznámý, proto výpočet skóre není přípravným krokem, ale součástí prvního kroku algoritmu. Matice skóre už nemá rozměr $q \times d$, ale pouze $1 \times d$ (skóre je spočítáno pro jeden dotazový snímek s každým databázovým snímkem).

■ 3.3 Reorganizace skriptů

■ 3.3.1 buildScores

Skript buildScores, který spočítá skóre podobnosti pro každý dotazový snímek s každým databázovým snímkem, se již nebude používat. Důvodem je již zmíněné odlišení role databázových a dotazových snímků (skript buildScores předpokládal existenci předem známé množiny dotazových snímků a spouštěl se jako přípravný krok datasetu mimo samotný běh algoritmu.) Místo tohoto skriptu byla do projektu přidána funkce getScores1Query.

```
function [score] = getScores1Query(params, featuresPath,  
    queryPath, cutoutFeatures)
```

Vstupy a výstupy:

- params jsou parametry běhu algoritmu vytvořené funkcí setupParams ještě před krokem ht_retrieval.
- featuresPath je cesta k popisným vektorům databázových snímků
- queryPath je cesta k dotazovému snímku

Funkce getScores1Query potřebuje extrahovat features předem neznámého dotazového snímku, proto interně volá funkci getFeatures1Query. Tato funkce byla do projektu přidána kvůli přechodu na produkční verzi.

■ 3.3.2 getFeatures1Query

Funkce `getFeatures1Query` spočítá features pro jeden předem neznámý dotazový snímek. Tento skript v původní výzkumné verzi `InLocu` nebyl. K extrakci popisných features používá stejný algoritmus jako přípravný skript `buildFeatures`.

Funkce byla testována manuálně, zda vrací pro stejné snímky stejné popisné vektory jako funkce `buildFeatures`.

```
function [ queryFeatures ] = getFeatures1Query(params, queryPath)
```

Vstupy a výstupy:

- `params` jsou parametry běhu algoritmu vytvořené funkcí `setupParams` ještě před krokem `ht_retrieval`.
- `queryPath` je cesta k dotazovému snímku
- `queryFeatures` je jednotkový popisný vektor dotazového snímku.

■ 3.4 Možnosti ladění

Pro testovací implementaci je typické odkládání mezivýsledků do souborů, čímž se proces lokalizace rozděluje na několik nezávislých kroků. Díky tomu se nemusí spouštět celý proces vždy od začátku, ale je možné začít z libovolného místa. Naopak produkční implementace předpokládá v rámci simulace reálného běhu vždy spouštění od začátku a nedělitelnost celého procesu. V reálném běhu tak odpadá potřeba odkládat mezivýsledky do souborů

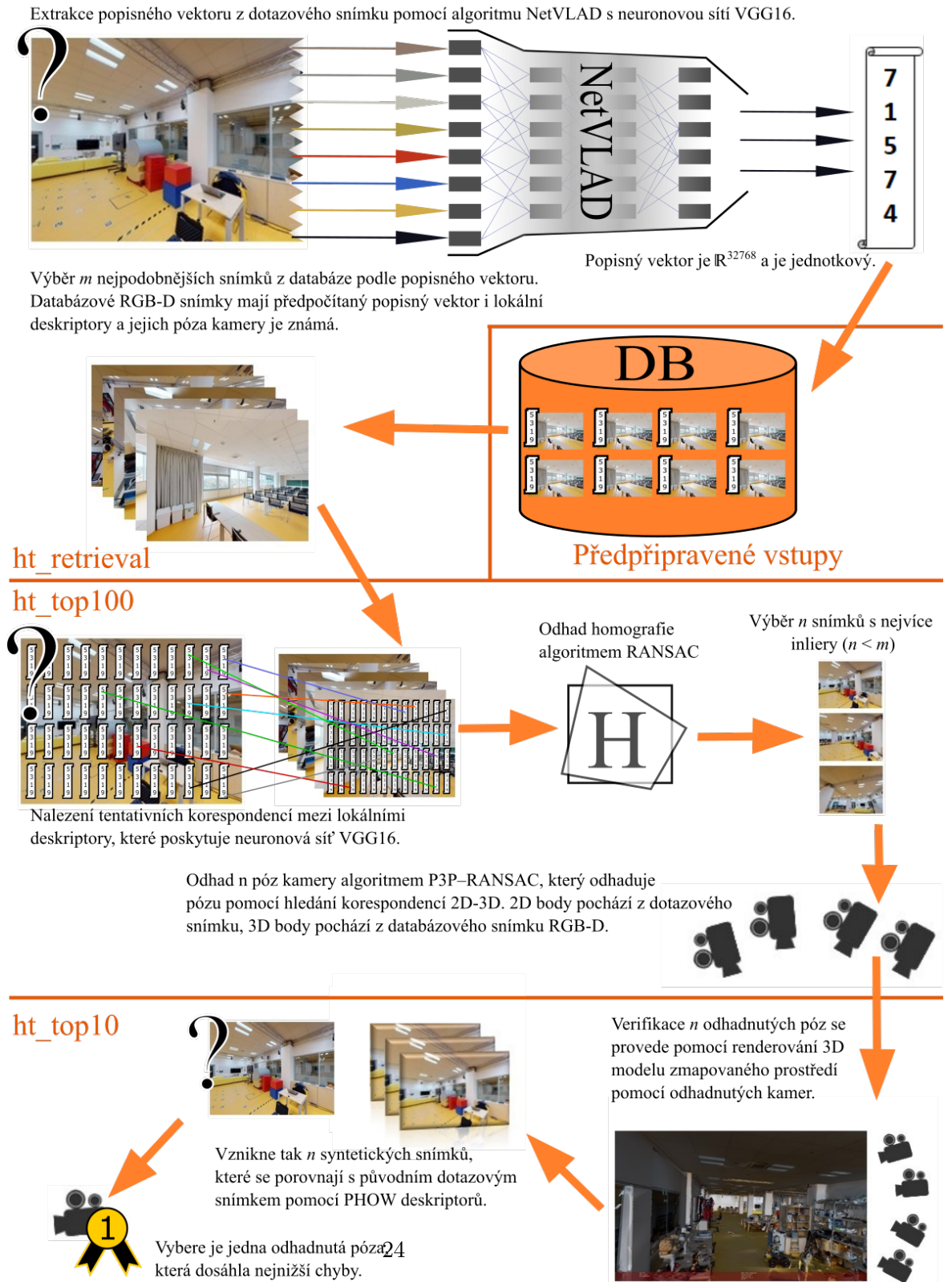
Kvůli testování produkční verze, exportování grafů, profilací a tabulek ale není možné odkládání do souborů úplně zrušit. Simulaci reálného běhu a odkládání výsledků řídí tyto booleovské proměnné, které jsou definovány na začátku algoritmu ve funkci `inloc_demo`:

- `USE_CACHE_FILES`: umožňuje rozdělit proces lokalizace do nezávislých kroků, tj. pokud existují odložené mezivýsledky nějakého kroku algoritmu, tento krok se může přeskočit. Tato proměnná je při všech profilacích nastavená na hodnotu `false`, v opačném případě by algoritmus nesimuloval reálný běh.
- `SAVE_SUBRESULT_FILES`: umožňuje odkládat mezivýsledky do souborů. Tyto mezivýsledky jsou nezbytné pro generování grafů a tabulek, proto je tato možnost vždy zapnutá.
- `USE_PAR`: umožňuje spouštět vhodné podúlohy paralelně. To je ve většině případů žádoucí, ale pokud je potřeba pomocí profilace změřit výkon všech funkcí, je vhodné paralelní běh vypnout. Paralelní kód se v Matlabu profiluje jako atomická jednotka, takže ve výsledné profilaci není vidět, které funkce se v paralelních částech spouštěly a jaký mají výkon.
- `USE_PROFIL`: pokud je tato možnost zapnutá, kód se profiluje vestavěným profilačním nástrojem Matlabu a po skončení algoritmu se výsledky profilace uloží ve formátu `html`.

3.5 Význam produkční verze

Produkční verze je varianta algoritmu `InLoc`, která simuluje reálné využití ve skutečném provozu. Zatím se jedná jen o simulaci. Tato implementace ještě není na reálné využití připravena, protože je závislá na prostředí Matlabu, což s sebou nese nejen výkonnostní omezení, ale i omezení využívání hardwaru, zejména paralelismu, protože paralelní cykly vyžadují licenci na speciální komerční toolbox aplikace Matlab. Tato implementace může pro navazující práce (např. kompletní přepisování algoritmu do `C/C++`) sloužit jako předloha a prototyp.

3.6 Souhrnné schéma produkční verze



Obrázek 3.1: Souhrnné schéma produkční verze algoritmu InLoc

Kapitola 4

Zrychlení produkční verze pomocí C++ a GPU

Součástí této práce je zvýšit výkon algoritmu InLoc. Dosavadní implementace je napsána ve skriptovacím jazyce Matlab, což s sebou nese výkonnostní omezení. Nabízí se proto přepsat některou pomalejší část do C++. Vybraná přepsaná část bude potřebovat propojení s prostředím Matlab, ve kterém poběží ostatní implementace. Kvůli nutné vazbě na Matlab se nabízí zkompilevat kód C++ jako knihovnu MEX.

4.1 Knihovny MEX

Soubory Matlab executable (zkráceně MEX) představují způsob, jak spouštět v prostředí Matlabu kódy, které jsou napsány v jazyce C nebo C++. Jedná se o dynamické knihovny, což jsou binární soubory obsahující zkompilevaný kód, které se načítají za běhu aplikace. Soubory MEX tak fungují na podobném principu jako dynamické knihovny .dll v systému Windows či .so v systému Linux. Knihovna MEX obsahuje právě jeden vstupní bod (tj. hlavní funkci), který se volá z prostředí Matlabu a poskytuje základní rozhraní pro spolupráci Matlabu s nativním kódem. Každá knihovna MEX tak zastupuje jednu funkci. V Matlabu se knihovna volá vlastním názvem. Např. pokud máme soubor knihovny `my_mex_library.mexa64`, v Matlabu ji můžeme zavolat stejně jako běžnou funkci, tj. příkazem `my_mex_library(parametry)`; . Tímto příkazem se zavolá hlavní funkce knihovny, které se předají ukazatele na vstupní a výstupní parametry.

Knihovna MEX se dá naimplementovat v jazyce C nebo C++, přičemž způsob implementace se značně liší. Implementace C obsahuje hlavní funkci, C++ obsahuje třídu reprezentující funkci Matlabu. Tyto rozdíly se týkají jen API Matlabu, takže je samozřejmě možné použít API jazyka C a zbytek knihovny napsat v C++. Podpora pro C++ MEX API byla do Matlabu přidána až ve verzi R2018a. Pro tuto práci byla vybrána implementace C, protože je kompatibilní i se staršími verzemi Matlabu. Každá knihovna MEX vydaná v rámci této práce tak bude obsahovat hlavní funkci `mexFunction`.

4.1.1 Implementace MEX v C

Potřebná rozhraní pro komunikaci s Matlabem jsou definována v hlavičkovém souboru `mex.h`. Vstupním bodem knihovny je funkce `mexFunction`, která má následující definici:

```
void mexFunction(int nlhs, mxArray* plhs[],
                 int nrhs, const mxArray* prhs[])
```

nlhs je počet výstupních parametrů, které jsou přístupné pomocí ukazatelů *plhs*. Obdobně jsou přístupné i vstupní parametry pomocí parametrů *nrhs* a *prhs*.

4.1.2 Implementace MEX v C++

Potřebná rozhraní pro komunikaci s Matlabem jsou definována v hlavičkovém souboru `mex.hpp`. Vstupním bodem knihovny je třída knihovny, což je třída nesoucí název funkce a je odvozena od základní třídy `matlab::mex::Function`. Třída musí definovat operátor `()` následujícím způsobem:

```
void operator()(matlab::mex::ArgumentList vystupy,
               matlab::mex::ArgumentList vstup) {...}
```

Třída `ArgumentList` je kontejner obsahující hodnoty typu `matlab::data::Array`. Kontejner je možné použít s běžným operátorem indexování a navíc si pamatuje vlastní délku, díky čemuž má operátor `()` pouze dva parametry (tj. oproti implementaci C chybí parametry popisující délku polí).

4.1.3 Kompilace MEX

Existuje více příkazů Matlabu, které zkompilují soubory C/C++. V této práci byly použity příkazy `mex` a `mexcuda`. Příkaz `mexcuda` byl použit pro kompilaci implementace s knihovnami `cuBLAS` a `CUDA`. Dokáže kompilovat soubory `.cu`, které obsahují kernely `CUDA`. Každý z příkazů spustí interně nějaký kompilátor pro C/C++. Pro tuto práci byl použit `G++` pro příkaz `mex` a `nvcc` pro příkaz `mexcuda`.

Oba příkazy byly použity ve stejném tvaru:

```
mex <soubory .cpp> -I "<hlavičkové soubory .h>"
CXXFLAGS="<parametry kompilátoru>" <statické knihovny>

mexcuda <soubory .cpp> -I "<hlavičkové soubory .h>"
CXXFLAGS="<parametry kompilátoru>" <statické knihovny>
```

Příkaz definuje použité zdrojové a hlavičkové soubory C++ a seznam nalinkovaných knihoven. Parametry kompilátoru nastavují např. použitou verzi C++.

4.2 Výběr vhodných částí k přepisu do C++

Pro výběr vhodné části k reimplementaci v C++ bylo nutné provést profilace celého běhu algoritmu s různě rozsáhlými datasety databázových snímků. Detailní výsledky všech profilací jsou v kapitole Experimenty v sekci 7.6. Většina kroků algoritmu `InLoc` pracuje s předem definovaným množstvím dat (např. 100 nejpodobnějších snímků, 10 syntetických snímků apod.). Proto by velikost databáze snímků neměla mít vliv na časovou náročnost těchto kroků. Velikost databáze snímků má vliv pouze na časovou náročnost skriptů, které pracují s celou databází. Profilace tento fakt potvrdila. Jediné skripty, které pracují s celou databází, je přípravný krok `buildFeatures`, který popíše databázové snímky metodou `NetVLAD`, a první krok algoritmu `ht_retrieval`, který z databáze vybere množinu nejpodobnějších snímků. Krok `buildFeatures` slouží k přípravě datasetu a v samotném algoritmu `InLoc` se nespouští, proto není vhodný k přepsání. Krok `ht_retrieval` je v porovnání s ostatními kroky menší zátěží, a proto nebyl vybrán k přepsání.

Hlavní kritéria pro výběr skriptu k přepsání do C++ jsou:

1. Procentuální podíl doby běhu daného skriptu na celkové době běhu algoritmu. Dle profilace mají obvykle často volané funkce větší podíl na celkové době běhu, a proto je jejich optimalizace důležitější.
2. Způsob původní implementace vybrané části - např. kódy s velkým množstvím for cyklů se budou přepisovat jednodušeji, protože jazyk Matlab není pro tyto operace optimalizován. Oproti tomu je složitější optimalizovat kód, který využívá převážně optimalizovaných maticových operací.

K přepisu byla vybrána funkce `at_dense_tc`. Důvody pro výběr této funkce k přepisu jsou následující:

1. Jednovláknová profilace (viz. sekce 7.6) ukázala, že funkce je spouštěna zhruba 27000x a celková doba běhu převyšuje dvě minuty, což představuje zhruba šestinu z celkové doby běhu algoritmu.
2. Funkce využívá funkci `yael_nn` z knihovny Yael, která řeší problém nejbližších sousedů. V dosavadní implementaci je ale `yael_nn` volána dvakrát se stejnými daty, jen s opačným pořadím parametrů. Tím se implementace vyhnula použití for cyklů, které by představovaly ještě větší zátěž.
3. Tato funkce nachází tentativní korespondence mezi normovanými vektory reálných čísel, přičemž často pracuje s velkými objemy dat. Experimenty ze sekce 7.7 ukázaly, že nové implementace v C++ s využitím GPU, vhodných matematických knihoven a paralelizace cyklů vykazuje násobně lepší výkon než původní implementace.

Funkce `at_dense_tc` bude přepsána do jazyka C++ s využitím optimalizovaných matematických knihoven. Funkce byla napsána ve více verzích s použitím různých matematických knihoven. Poté byla otestována rychlost běhu každé varianty funkce na stejných vstupních datech.

4.3 Výběr matematických knihoven

Pro nově vzniklý projekt C++, který obsahuje zrychlenou implementaci pro vybranou část algoritmu InLoc, je potřeba vybrat vhodnou matematickou

knihovnu pro maticové operace. Bude vybrána taková knihovna, která v dané úloze poskytne nejlepší výkon.

4.3.1 Specifikace BLAS

Specifikace BLAS [7] implementuje funkce pro mnoho základních matematických operací, přičemž se zaměřuje na operace s vektory a maticemi. BLAS je zaměřena na výkon - je implementována nízkourovňově (tj. pracuje se s alokací paměti, se kterou se pracuje pomocí ukazatelů. Zcela chybí automatizace na úrovni objektů.) BLAS je navržena tak, aby mohla těžit z výkonu hardwaru. K největším výhodám patří využívání SIMD instrukcí (single instruction, multiple data), což je datový paralelismus, který dokáže násobně urychlit výpočty. Např. je možné pracovat najednou s 256 bity, což je 8 čísel typu float najednou. Podporovány jsou jazyky C (C++) a Fortran.

Funkce BLAS jsou rozděleny do několika úrovní:

1. Level 1 poskytuje pouze operace s vektory (výpočet normy, skalární součin, sčítání aj.).
2. Level 2 poskytuje funkce matematických operací mezi maticemi a vektory (např. násobení), dále implementuje algoritmy pro řešení lineárních rovnic aj.
3. Level 3 implementuje matematické operace mezi maticemi. Typickou úlohou je součin dvou matic.

4.3.2 Knihovna cuBLAS

Knihovnu cuBLAS vyvinula společnost NVIDIA. Jedná se o kombinaci rozhraní BLAS a knihovny CUDA, která je určena pro programování výpočtů na GPU [8].

Výhody knihovny cuBLAS.

1. Rozsáhlé maticové výpočty běží na GPU podstatně rychleji

2. Knihovna poskytuje funkce napsané v jazyce C a technologie CUDA je využívána interně. Proto není nutné ji znát.
3. cuBLAS je možné doplnit o vlastní kernely CUDA, nebo o libovolné jiné funkce, které CUDA poskytuje.
4. Správnost manipulace s pamětí je možno ověřit nástrojem cuda-memcheck
5. cuBLAS poskytuje jednoduché funkce pro hromadné zpracování dat na více vláknech.

Nevýhody knihovny cuBLAS.

1. Je nutné kopírovat data do GPU a z GPU.
2. Programy obsahující knihovnu cuBLAS mohou plnohodnotně běžet pouze na strojích s grafickou kartou.
3. Knihovna je napsána v C, proto je nutné buď spravovat paměť manuálně (alokovat a uvolňovat paměť, kopírovat paměť, udržovat rozměry matic apod.), nebo vyvinout vlastní sadu tříd C++, které mohou tuto nutnou administrativu automatizovat.

4.3.3 Knihovna MKL

MKL vznikla jako implementace rozhraní BLAS od společnosti Intel [9], ale využití této knihovny je širší. Stejně jako BLAS a cuBLAS poskytuje operace lineární algebry ve třech úrovních (vektor a vektor, matice a vektor, matice a matice). Navíc poskytuje funkce pro vědecké výpočty, Fourierovy transformace, statistiku, generátory pseudonáhodných čísel aj. V tomto projektu byly využity pouze její funkce pro lineární algebru.

Nová implementace algoritmu InLoc využívá MKL kvůli optimalizovaným funkcím lineární algebry.

Výhody knihovny MKL.

1. Používání MKL je jednodušší než používání knihovny cuBLAS, kde se musí přenášet data mezi GPU a CPU, zarovnávat paměť atd.

2. MKL poskytuje jednoduché funkce pro hromadné zpracování dat na více vláknech.

Nevýhody knihovny MKL.

1. Stejně jako knihovna cuBLAS, MKL počítá s manuální správou paměti. Špatná manipulace s knihovnou proto může vést k únikům paměti, neplatným přístupům do paměti apod.

4.3.4 Knihovna Eigen

Knihovna Eigen implementuje operace lineární algebry. Na rozdíl od zmíněných knihoven postavených na BLAS je implementována jinak. Jedná se o soubor tříd a šablon tříd jazyka C++, které zaobalují nízkoúrovňové operace.

Výhody knihovny Eigen.

1. Objektový kód C++ knihovny Eigen je více automatizovaný, např. volání destruktorů objektů automaticky uvolňuje alokovanou paměť. Programátor je tak odstíněn od práce s pamětí a hardwarem.
2. Objektový kód poskytuje intuitivnější zápisy. Umožňuje používat přetížené operátory a členské funkce objektů.
3. Díky využití šablon typů může být mnoho důležitých informací známo už při kompilaci. Pokud např. dojde k násobení matic nekompatibilních rozměrů nebo nekompatibilních typů, program se vůbec nezkompiluje.
4. Objekty matic si uchovávají informace o vlastním rozměru. Při operacích násobení není nutné zadávat je manuálně a alokovat pro výsledek pole správného rozměru.
5. Operace vyšší úrovně nabízí širší možnosti optimalizace. Pokud např. provedeme transpozici matice, nebo replikaci matice, tato operace se ve skutečnosti vůbec provést nemusí, ale systém šablon tříd umí simulovat požadované chování.
6. Eigen implementuje líné vyhodnocování, což umožňuje neprovádět náročné operace, dokud to není nutné.

7. Eigen je implementována jako množina hlavičkových souborů. Do projektu se zařazuje velmi jednoduše, není potřeba nic instalovat.
8. Eigen se dá zkompilovat tak, aby interně využívala knihovny MKL, OpenBLAS apod.

Nevýhody knihovny Eigen.

1. Knihovna Eigen nenabízí analogii ke každé funkci BLASu. Např. nenabízí analogii k funkci `sgemm_batch`, kterou MKL a cuBLAS poskytují.

4.4 Popis funkce `at_dense_tc`

Tato funkce byla vybrána jako vhodný kandidát na přepis do C++. Pro odlišení dostala nová implementace této funkce nové jméno. Nová funkce se vyskytuje ve třech variantách: `get_tcs_mkl`, `get_tcs_eigen` a `get_tcs_cublas`. Každá varianta obsahuje v názvu použitou matematickou knihovnu.

Funkce `at_dense_tc` hledá tentativní korespondence mezi dvěma snímky. Funkce je napsána v Matlabu s následujícími vstupními a výstupními parametry:

```
function match = at_dense_tc(desc1, desc2)
```

`desc1` a `desc2` jsou matice typu $\mathbb{R}^{7500 \times 512}$ a obsahují 7500 lokálních popisných vektorů oblasti snímku, kde každý vektor je normovaný vektor typu \mathbb{R}^{512} .

`match` je matice $\mathbb{R}^{2 \times t}$, kde t je počet nalezených tentativních korespondencí mezi dvěma snímky. Každý sloupec obsahuje dva indexy popisných vektorů, které tvoří tentativní korespondence. Platí, že dva popisné vektory tvoří tentativní korespondenci, pokud jsou si vzájemně nejpodobnější. Podobnost dvou popisných vektorů $d_1, d_2 \in \mathbb{R}^{512}$ se měří skalárním součinem:

$$\text{podobnost} = d_1^T d_2 \in \mathbb{R} \quad (4.1)$$

d_1 a d_2 jsou normované vektory, takže jejich podobnost je ekvivalentní jejich úhlové vzdálenosti.

■ Odlišnosti v implementaci `at_dense_tc` a `get_tcs_*`

Není pravda, že funkce `get_tcs_*` by byla naprosto přesnou analogií k funkci `at_dense_tc`.

Původní funkce `at_dense_tc` se dala použít pro vektory s libovolnou normou, zatímco všechny nové implementace počítají s normovanými vektory na vstupu. Při porušení této podmínky budou nové funkce `get_tcs_*` vracet chybné výsledky. Tato odlišnost v implementaci se v algoritmu InLoc nijak neprojeví, protože lokální deskriptory (tj. vstupní parametry) jsou normované vektory.

Důležitý rozdíl je, že původní funkce `at_dense_tc` hledá tentativní korespondence mezi jedním dotazovým a jedním databázovým snímkem. Všechny nové funkce hledají tentativní korespondence mezi jedním dotazovým a libovolným počtem databázových snímků. Tato úprava implementace přispívá ke zvýšení výkonu efektivním využitím paralelismu, ale vyžádala si reorganizace algoritmu.

■ Paměťové testy s `cuda-memcheck`

Při použití knihoven `cuBLAS` a `CUDA` je nutná manuální správa paměti pomocí ukazatelů a knihovních funkcí. Pro alokaci a uvolnění paměti GPU jsou k dispozici funkce `cudaMalloc` a `cudaFree`. Data se kopírují do a z paměti GPU funkcí `cudaMemcpy`. Protože zmíněné knihovny nezaručují bezpečnou manipulaci s pamětí, je nutné využít nástroj `cuda-memcheck`, který spustí zkompileovaný kód v testovacím prostředí a za běhu detekuje chybné paměťové operace. Mezi detekované problémy patří úniky paměti, dvojité uvolnění (`double free`), porušení hranice pole, chybné zarovnání paměti a různé problémy hardwaru. Tyto chyby se detekují jak pro paměť GPU, tak pro paměť RAM. Nástroj `CUDA-memcheck` se spouští v příkazové řádce příkazem:

```
cuda-memcheck <spustitelný soubor>
```

Pro účely testování paměti je vhodné zkompilevat implementaci `get_tcs_cublas` tak, aby nebyla závislá na Matlabu, tedy místo knihovny MEX je vhodné zkompilevat spustitelný program. Pro tuto testovací kompilaci byl ignorován soubor `get_tentative_corresps_MEX.cpp`, který zajišťoval napojení na prostředí Matlab. Byl nahrazen souborem `test_cuda_code.cpp`, který obsahuje funkci `main` a po spuštění vygeneruje náhodné matice, které se použijí jako vstup do testované funkce `get_tcs`. Následující výstup paměťového testu ukazuje úspěšný výsledek:

```
$ cuda-memcheck test_mem_get_tcs_cublas

===== CUDA-MEMCHECK
Result len: 4
===== ERROR SUMMARY: 0 errors
```

■ Paměťové testy s valgrindem

V implementaci `get_tcs_mkl` se používá manuální správa paměti. Samotná knihovna MKL je napsaná v jazyce C. Navíc se v implementaci vyskytují dynamické alokace polí. Proto je nutné zkontrolovat korektnost paměťových operací pomocí nástroje `valgrind`.

```
$ valgrind test_mem_get_tcs_mkl
```

Pomocí tohoto nástroje byl testován každý build implementace. Stejně jako při testování varianty `get_tcs_cublas`, i varianta MKL byla pro testovací účely zkompileována do spustitelného programu.

■ CI/CD

CI/CD do projektu přidáno nebylo, a to z těchto důvodů

- Na Git byl nahráván pouze kód, který se úspěšně přeložil na knihovnu MEX. Překlad provádí Matlab pomocí příkazů `mex` a `mexcuda`.

- Šířit Matlab pro potřeby CI/CD je nepraktické a navíc nelegální. Pro běh Matlabu je potřebná platná licence.

- Testy lze spustit manuálně. Stačí spustit jednou pro každé sestavení.

■ 4.4.1 Test správnosti převodu do C++

Všechny varianty nové funkce (tedy `get_tcs_cublas`, `get_tcs_mkl`, `get_tcs_eigen`) musí být otestovány, zda vrací ty stejné, nebo alespoň podobné výsledky jako `at_dense_tc`. Malé zaokrouhlovací chyby jsou přirozené a dají se tolerovat. Větší odlišnosti v počtu nalezených tentativních korespondencí či odlišnosti v jejich spárování jsou nepřijatelné.

Použitá testovací data jsou reálné popisné matice použitých snímků, konkrétně 100 párů popisných matic dotazového snímku s databázovým. Každá popisná matice má rozměr 7500×512 , což odpovídá 7500 lokálním popisným vektorům typu \mathbb{R}^{512} . Výsledkem funkce `at_dense_tc` i každé její nové alternativy je množina párů reprezentovaná jako dvouřádková matice.

Pro testování rovnosti výsledků byla vytvořena v Matlabu funkce `TEST_MEX_FILES` (umístění: `_InLoc_PROD_Speedup/functions/at_netvlad_function`). Funkce nepřijímá žádné parametry a nevrací žádné výsledky, jen vypíše nalezené chyby. Tentativní korespondence nalezené původní funkcí Matlabu `at_dense_tc` se považují za referenční správné řešení a za chybu se považuje, pokud nová implementace vrátí nějakou korespondenci navíc, pokud nějaká korespondence

chybí a pokud je nějaká korespondence jinak přiřazena.

Pseudokód 4: Způsob vyhodnocení tentativních korespondencí mezi jedním dotazovým a mnoha databázovými snímky

```

desc_q, desc_dbs[] = načíst_tent_korespondence();
mkl_errors = 0; cublas_errors = 0; eigen_errors = 0;
for každý desc_db ∈ desc_dbs do
    // Funkce to7500 přijímá páry indexů deskriptorů, které tvoří
    // tentativní korespondence. Funkce vrátí vektor o délce 7500, kde na
    // každém indexu i je celé číslo j (index deskriptoru databázového
    // snímku, se kterým se páruje i-tý deskriptor dotazového snímku).
    // Pokud j=0, tak i-tý deskriptor nemá přiřazenou žádnou
    // korespondenci.
    tcs_original = to7500(at_dense_tc(desc_q, desc_db));
    tcs_mkl = to7500(get_tcs_mkl(desc_q, desc_db));
    tcs_eig = to7500(get_tcs_eigen(desc_q, desc_db));
    tcs_cbl = to7500(get_tcs_cublas(desc_q, desc_db));
    // Počet chyb = počet jinak přiřazených indexů
    mkl_errors += sum(tcs_original != tcs_mkl);
    eigen_errors += sum(tcs_original != tcs_eig);
    cublas_errors += sum(tcs_original != tcs_cbl);
end
report_errors();

```

Protože tentativních korespondencí může být maximálně 7500, je snadné převést úlohu spočítání rozdílů v tentativních korespondencích na úlohu porovnání dvou vektorů u , v o délce 7500, kde se spočítá množství indexů i , pro které platí: $u[i] \neq v[i]$. Výstup testu nových implementací je následující:

```

>> TEST_MEX_FILES
Pocet nalezenych TC se v 55. paru lisi [Matlab, MKL, cuBLAS, Eigen]:
393  393  394  393

cuBLAS: Ve dvojici 55 je jinak prirazenych korespondenci: 1
Pocet nalezenych TC se v 57. paru lisi [Matlab, MKL, cuBLAS, Eigen]:
328  328  329  328

cuBLAS: Ve dvojici 57 je jinak prirazenych korespondenci: 1
Pocet nalezenych TC se v 99. paru lisi [Matlab, MKL, cuBLAS, Eigen]:
287  287  286  287

cuBLAS: Ve dvojici 99 je jinak prirazenych korespondenci: 1
TEST skoncil

```


Z toho vyplývá, že 97 testovaných případů vrací stejný počet stejně přiřazených tentativních korespondencí. Pouze ve třech případech vrátila implementace s knihovnou cuBLAS mírně odlišné výsledky. V případě č.55 došlo k navýšení počtu tentativních korespondencí z 393 na 394. To samé navýšení se vyskytlo ještě v případě č.57, naopak v případě č.99 došlo ke snížení tentativních korespondencí z 287 na 286.

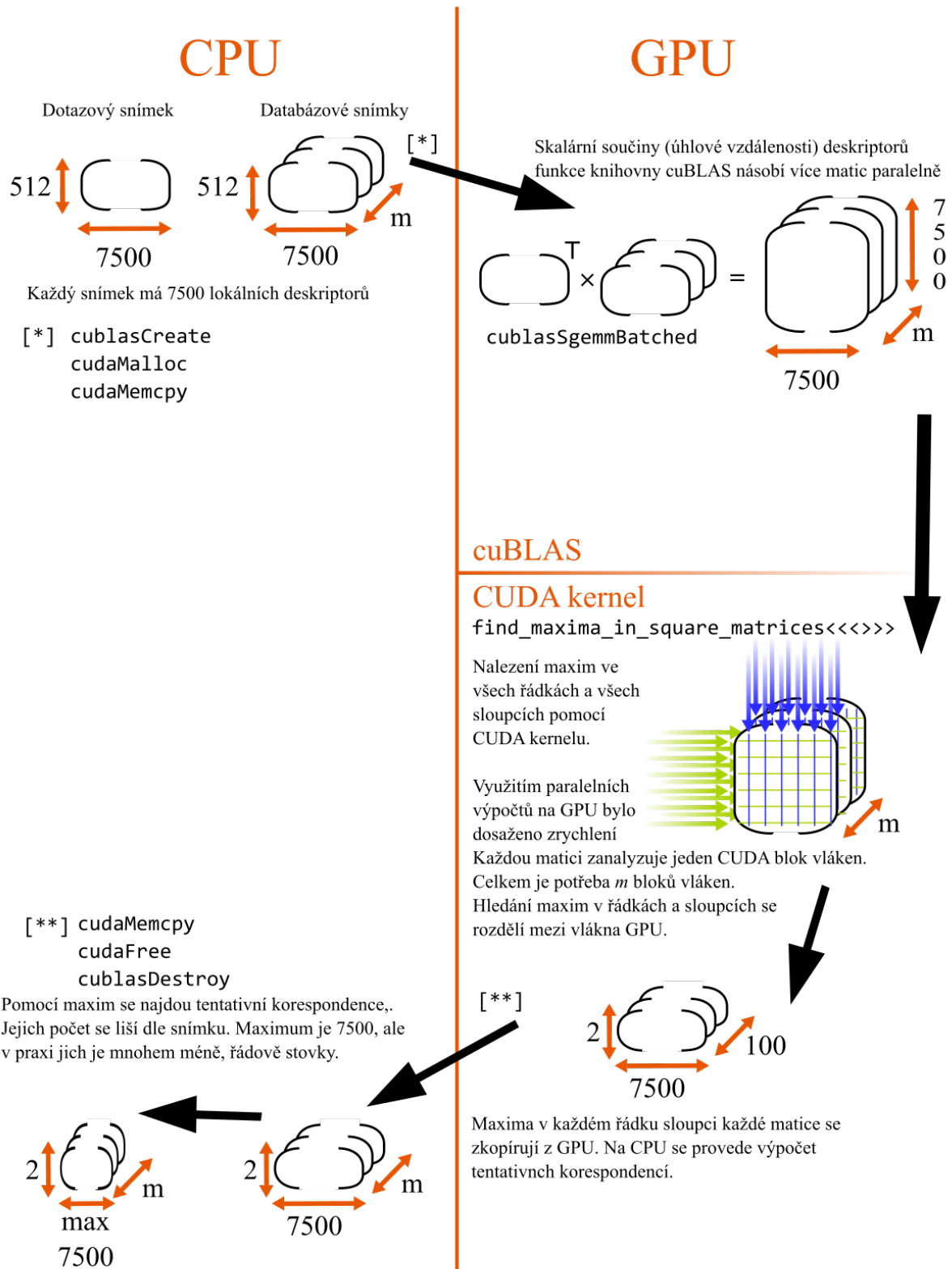
Implementace s knihovnou cuBLAS je nejvíce zatížena zaokrouhlovacími chybami, což ve 3% testovaných případů změnilo počet nalezených tentativních korespondencí o 1. Jedná se o zanedbatelnou odchylku, tato implementace byla zařazena do projektu.

4.5 CUDA

CUDA byla použita v projektu dvěma způsoby, což přineslo významné zrychlení předělaných částí algoritmu, o čemž svědčí grafy 7.1, 7.2, 7.3 a 7.4. Pro maticové operace byla použita knihovna cuBLAS, která využívá technologii CUDA interně. Dále byl naimplementován kernel CUDA, který analyzuje matice podobnosti lokálních deskriptorů (z čehož se poté odvodí tentativní korespondence, viz. schématický obrázek 4.1.

Knihovna **cuBLAS** byla použita pro hromadné vynásobení m matic o rozměru 7500×512 , což přineslo významné urychlení. Výsledkem této operace je m matic o rozměru 7500×7500 , což je velký objem dat, konkrétně $m \times 7500 \times 7500$ čísel float, to je např. pro $m = 100$ přesně 22,5 GB dat. Jedná se o podobnosti mezi jednotlivými lokálními deskriptory, mezi nimiž se hledají maximální podobnosti, ze kterých se poté odvodí tentativní korespondence.

Bylo by neefektivní kopírovat gigabajty dat z GPU a provést hledání maxima pomocí výpočtu na CPU. Matice maximálních podobností je řádově menší, konkrétně $7500 \times 2 = 15000$ indexů integer, tedy 60 kB pro jeden pár snímků, tedy pro $m = 100$ přesně 6 MB. Nabízí se proto naimplementovat **kernel CUDA**, který tato maxima najde mnohem rychleji než výpočet CPU (jedná se o dobře paralelizovatelnou úlohu do mnoha vláken, která GPU nabízí) a navíc řádově sníží objem kopírovaných dat (přesně $3750\times$). Schématický obrázek 4.1 zobrazuje využití CUDA a cuBLAS.



Obrázek 4.1: Rozdělení výpočtu tentativních korespondencí mezi CPU, cuBLAS a kernel CUDA

Kapitola 5

Chyby a nevýhody současného InLocu

V rámci experimentálního ověření dosažené rychlosti a přesnosti byly nalezeny zásadní nedostatky algoritmu, které mají negativní dopad na přesnost. Tato kapitola se zabývá nalezenými chybami a rovněž diskutuje jejich nápravu. Nalezené chyby se vyskytují relativně často a mají souvislost s nemožností spolehlivého zvýšení rychlosti běhu InLocu pomocí zvětšení datasetu a snížení m (počet nejpodobnějších snímků, pro které se hledají korespondence s dotazovým snímkem). To bude tématem další kapitoly.

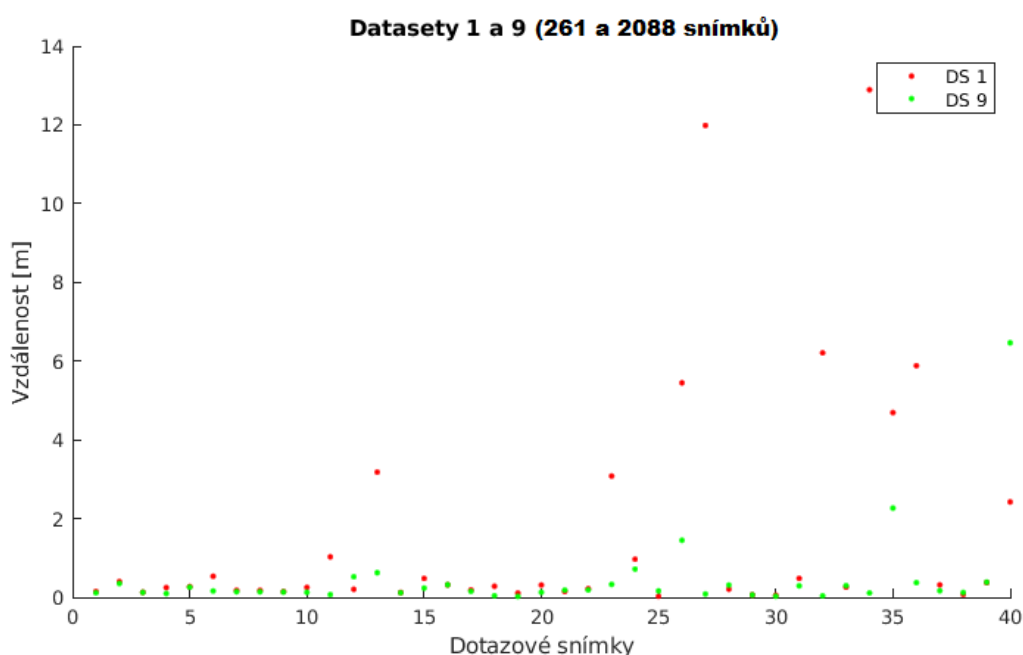
5.1 Chybné odhady s různými datasety

Detailním porovnáním přesnosti algoritmu s různými datasety se zabývá sekce 6.2.5. Tato sekce se zabývá výskytem typických chyb algoritmu.

Vliv velikosti datasetu na přesnost odhadu byl zkoumán na devíti datasetech snímků RGB-D, které mapují místnosti CIIRCu (velikosti: 261, 391, 522, 783, 1044, 1305, 1566, 1827, 2088). Platí, že každý větší dataset je rozšířením menšího datasetu. InLoc se spouští s parametry $m = 100$ a $n = 10$. V této sekci se přesnost odhadu ukazuje na eukleidovské vzdálenosti skutečného středu kamery od odhadnutého středu. Zlepšení přesnosti mezi nejmenším a největším datasetem je viditelné na první pohled. Rozdíly mezi po sobě jdoucími datasety jsou ale nenápadné, přesto většinou dojde ke zlepšení přesnosti. To odpovídá závěrům 24/7 image place recognition paper [5]. Dotazy, kde navzdory zvětšení datasetu nedošlo ke zlepšení přesnosti, jsou

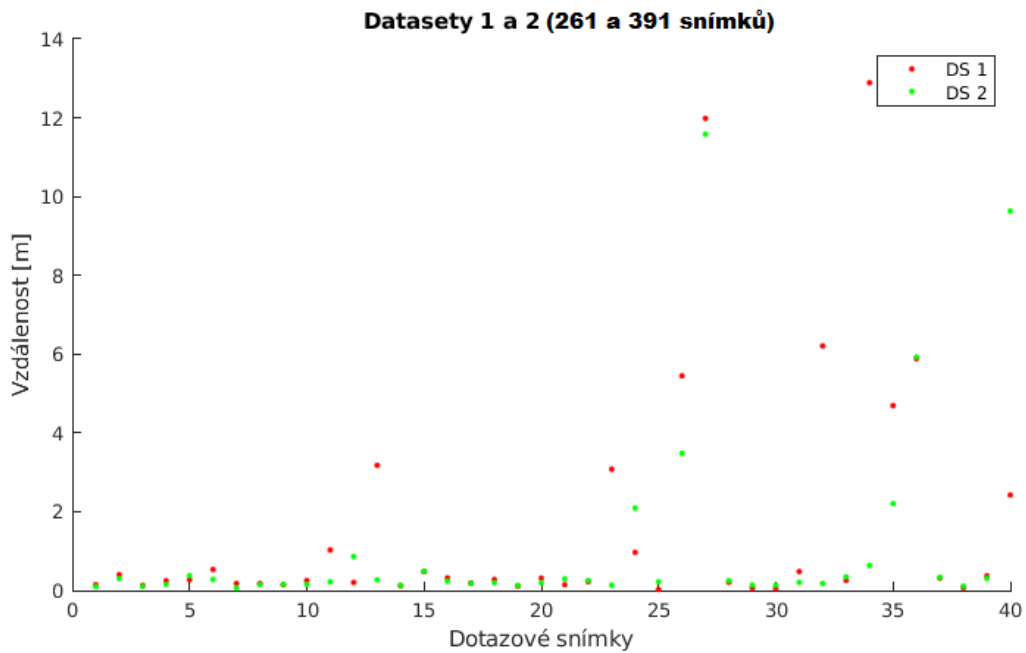
zatížené chybou. V rámci testování bylo nalezeno několik druhů chyb, kterých se InLoc dopouští. Níže jsou popsány objevené chyby a návrhy na jejich odstranění nebo zredukování.

Dohoda: Bylo zmíněno, že při zvětšení datasetu se může přesnost lokalizace zhoršit. Většina zhoršení je však zanedbatelná, řádově v jednotkách centimetrů. Budeme zmiňovat jen významná zhoršení přesnosti. Řekněme, že **významné zhoršení přesnosti** nastává, když se přesnost při zvětšení datasetu zhorší alespoň o 0,2 m.



Obrázek 5.1: Porovnání přesnosti pro první a devátý dataset (261 a 2088 snímků). Chyba pro velký dataset je u většiny dotazů nižší. Velký dataset se také mnohem méně dopouští selhání, při kterých nepřesnost lokalizace dosáhne několika metrů.

Na obrázku 5.1 je zlepšení přesnosti při zvětšení datasetu dobře patrné. Významné zhoršení přesnosti (tedy více než 20cm) nastalo u 5% dotazů. K nejnápadnějšímu zhoršení přesnosti došlo u dotazového snímku 40, který vede ke specifické chybě a je diskutován v další části kapitoly. Níže jsou ukázána postupná zpřesňování na po sobě jdoucích datasetech. Při postupném zvětšování datasetu je lépe vidět, jak se InLoc dopouští chyb.



Obrázek 5.2: Nejmenší dataset (261 snímků) se dopustil nejvíce selhání. U druhého datasetu (391 snímků) došlo k nižšímu počtu selhání, nebo selhání dosáhla alespoň o něco nižší nepřesnosti. Významné zhoršení přesnosti nastalo u 7,5% dotazových snímků. Dotaz č. 40 dosáhl násobného zhoršení, proto je diskutován níže.

Dotaz 40 nebyl spolehlivě lokalizován pomocí žádného datasetu, proto ho rozeberme detailněji. Pro první dataset byla odhadnuta pozice $[3,66; 1,36; 4,91]$. Pro druhý dataset $[-1,7; 0,33; 12,45]$. Ani jeden odhad není přesný, skutečná pozice je $[2.19, 1.52, 2.99]$. Obrázky 5.3 a 5.4 ukazují výsledek kroku geometrické verifikace, tedy vybrané databázové snímky s nejvyšším počtem inlierů. Některé vybrané databázové snímky jsou skutečně pořízeny z podobného místa jako dotazový snímek (vyobrazují zelené zařízení, které je na dotazovém snímku) a dají se považovat za rozumný výstup. Mnoho vybraných snímků je ale z jiného místa. Už tento krok má potíže s výběrem snímků ze správného místa, protože v databázi patrně chybí snímek daného zeleného zařízení zblízka, nebo ze správného úhlu. V databázi také chybí snímky míst a předmětů z výrazného pohledu či nadhledu. Proto takové dotazové snímky mají v databázi méně podobných snímků, ze kterých by se dala přesně vypočítat póza kamery.

Obrázky 5.5 a 5.6 ukazují další krok, tedy nejlepší syntetické snímky pro tento dotaz. Je vidět, že se algoritmus snaží odhadnout takovou pózu, aby napodobil pohled shora na podlahu, což vidíme na dotazovém snímku, ale bohužel došlo k chybě odhadu pozice (snímky vyobrazují jen podlahu).

Žádný syntetický snímek nenabídl přesný odhad, což může souviset s problémy předešlého kroku geometrické verifikace (databáze neposkytuje vhodné snímky, ze kterých by se odhadla póza pro tak netypický dotazový snímek). Mezi vybranými syntetickými snímky se vyskytuje další chyba: odhadnutá pozice kamery se nachází mimo zmapovaný prostor, což se projeví rozlehlým bílým pozadím.

Dataset 1(261 snímků), dotazový snímek 40, vybrané snímky z datasetu



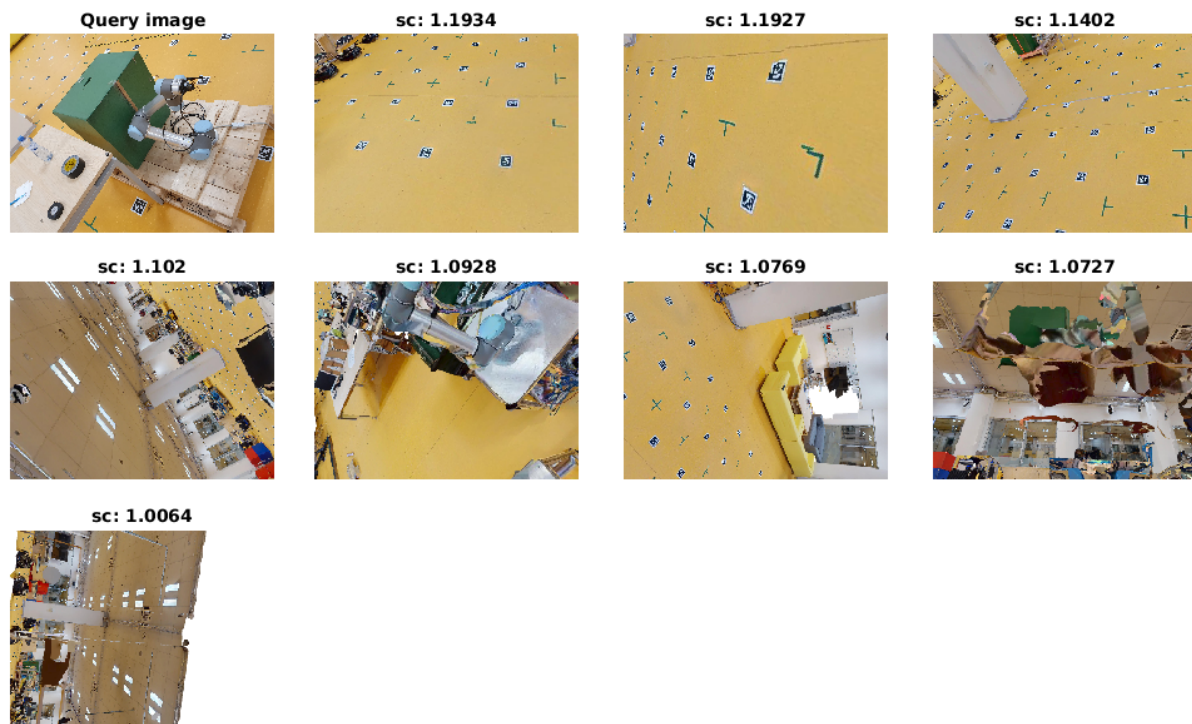
Obrázek 5.3: Výběr nejlepších databázových snímků RGB-D pro dotaz 40 při použití datasetu o velikosti 261 snímků. U každého snímku je uvedeno skóre podobnosti s dotazovým snímkem. Nejvíce se na tvorbě skóre podílí počet inlierů. Výpočet tohoto skóre je popsán v sekci 2.1

Dataset 2 (391 snímků), dotazový snímek 40, vybrané snímky z datasetu



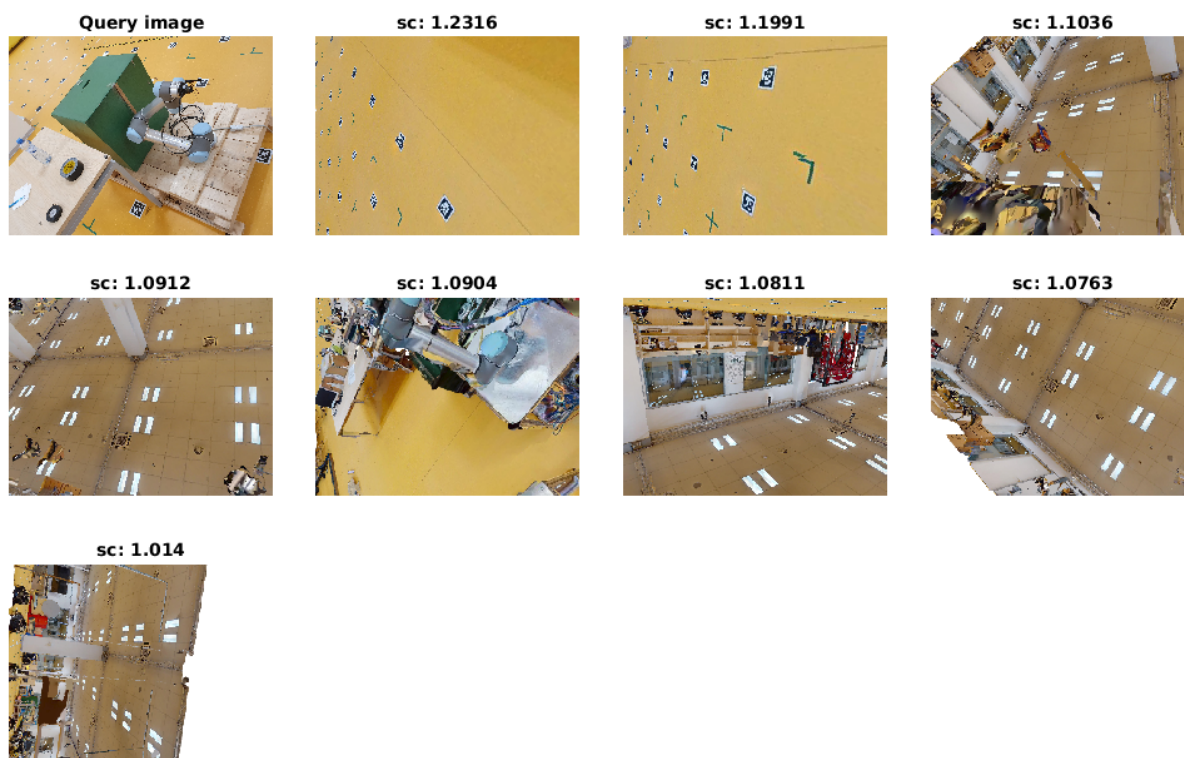
Obrázek 5.4: Výběr nejlepších databázových snímků RGB-D pro dotaz 40 při použití datasetu o velikosti 391 snímků. U každého snímku je uvedeno skóre podobnosti s dotazovým snímkem. Nejvíce se na tvorbě skóre podílí počet inlierů. Výpočet tohoto skóre je popsán v sekci 2.1

Dataset 1 (261 snímků), dotazový snímek 40, vybrané snímky z datasetu

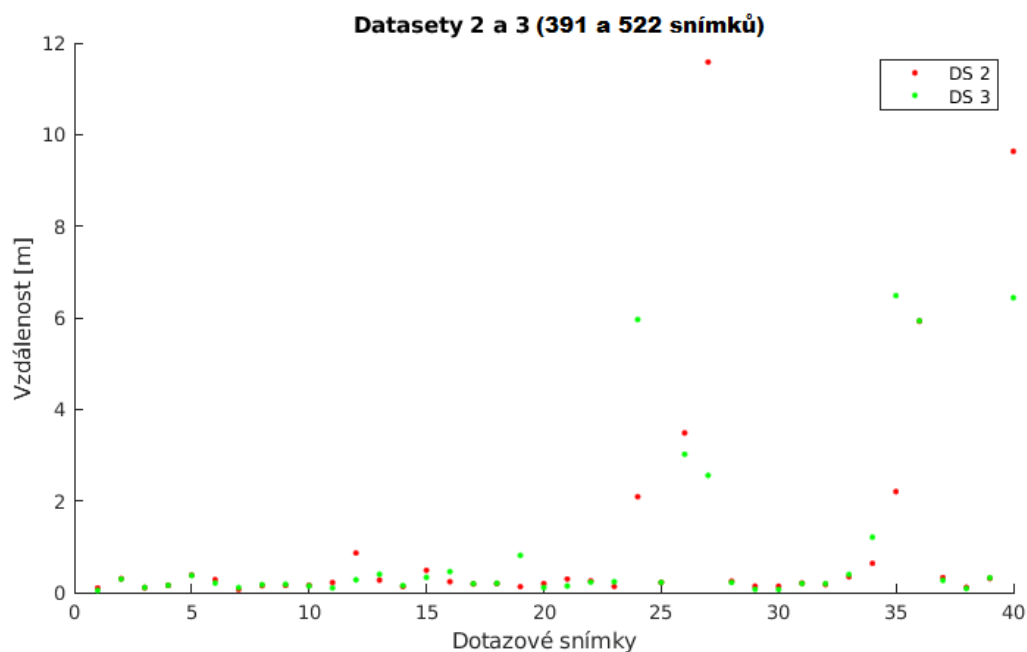


Obrázek 5.5: Výběr nejlepších syntetických snímků pro dotaz 40 při použití datasetu o velikosti 261 snímků. U každého syntetického snímku je uvedeno skóre podobnosti s dotazovým snímkem. Výpočet skóre podobnosti syntetického snímku s dotazovým je popsán v rovnici 2.2

Dataset 2 (391 snímků), dotazový snímek 40, vybrané syntetické snímky



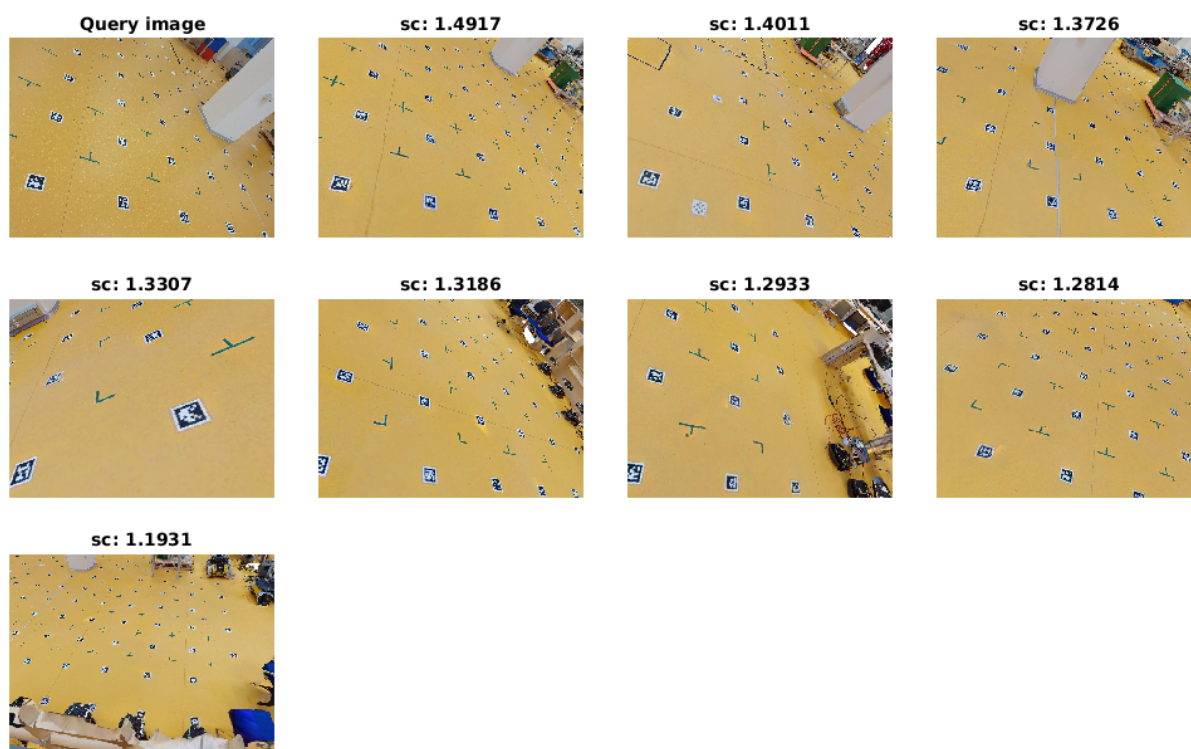
Obrázek 5.6: Výběr nejlepších syntetických snímků pro dotaz 40 při použití datasetu o velikosti 391 snímků. U každého syntetického snímku je uvedeno skóre podobnosti s dotazovým snímkem. Výpočet skóre podobnosti syntetického snímku s dotazovým je popsán v rovnici 2.2



Obrázek 5.7: Třetí dataset (522 snímků) opět snížil počet selhání a některá selhání alespoň výrazně zredukoval. 12,5% dotazových snímků bylo lokalizováno s významným zhoršením přesnosti.

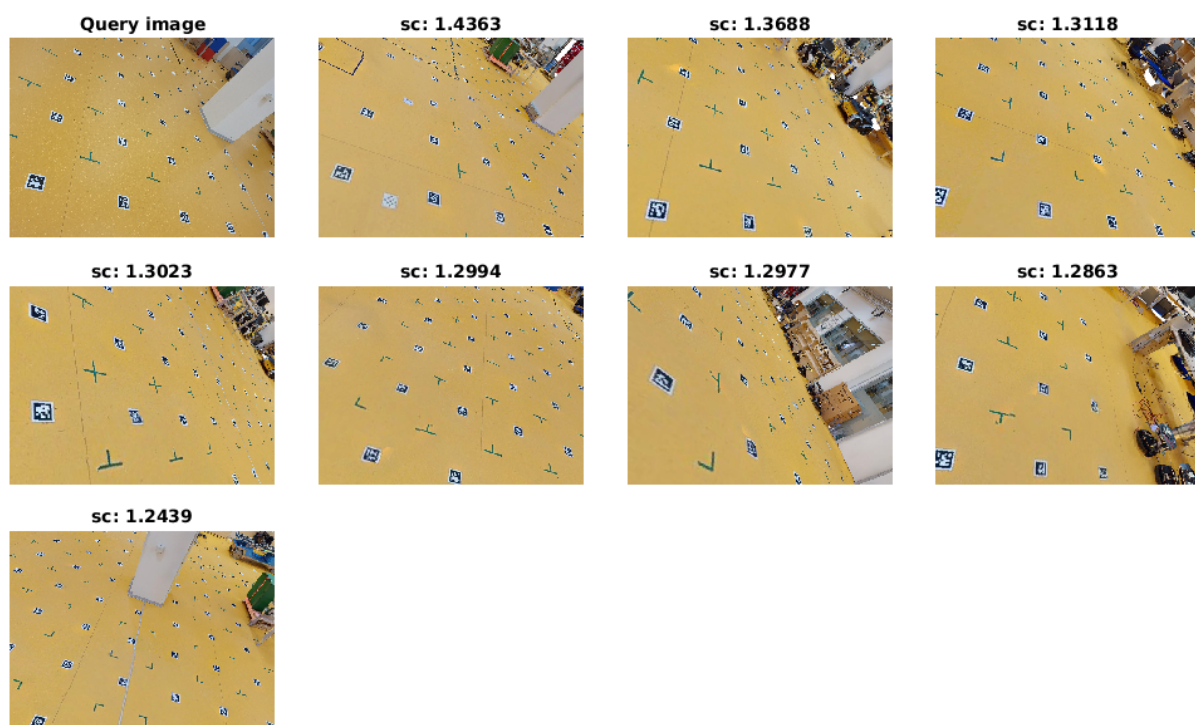
Lokalizace dotazu 35 dopadla pro druhý i třetí dataset špatně. Tento dotaz dopadl špatně i pro všechny ostatní datasety. Nabízí se otázka, v čem je problém. Obrázky 5.8 a 5.9 ukazují, že dotazový snímek je velmi nejednoznačný. Zobrazuje podlahu s bílým sloupem. Problém je, že zmapované prostředí obsahuje více takto vypadajících míst. Selhání lokalizace jsou pro nejednoznačné dotazy přirozená.

Dataset 2 (391 snímků), dotazový snímek 35, vybrané syntetické snímky

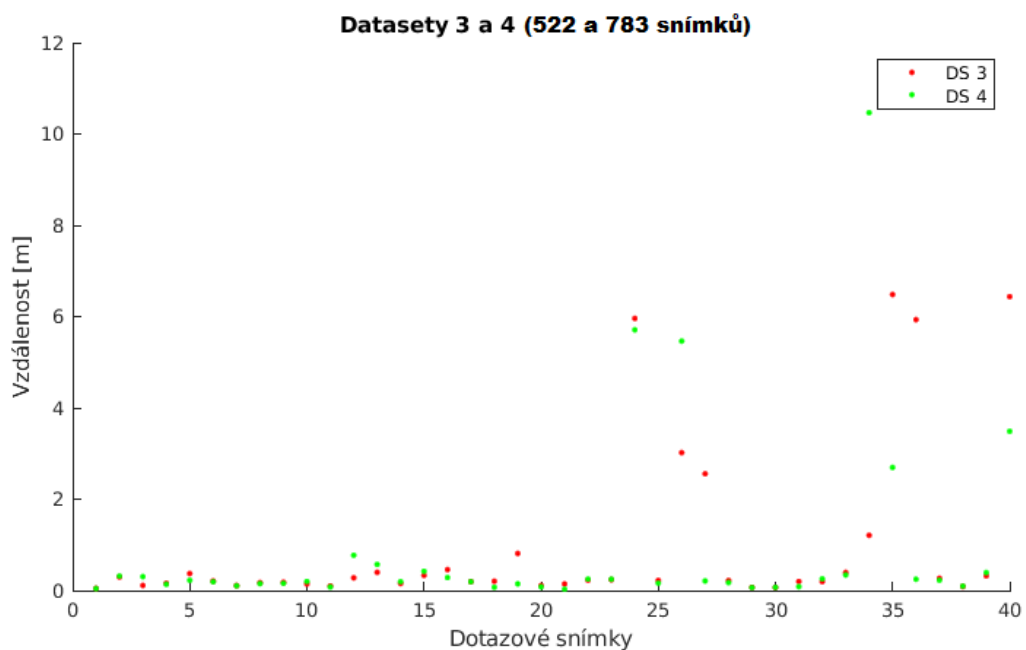


Obrázek 5.8: Dotazový snímek 35 a nejpodobnější syntetické snímky při použití datasetu o velikosti 391 snímků.

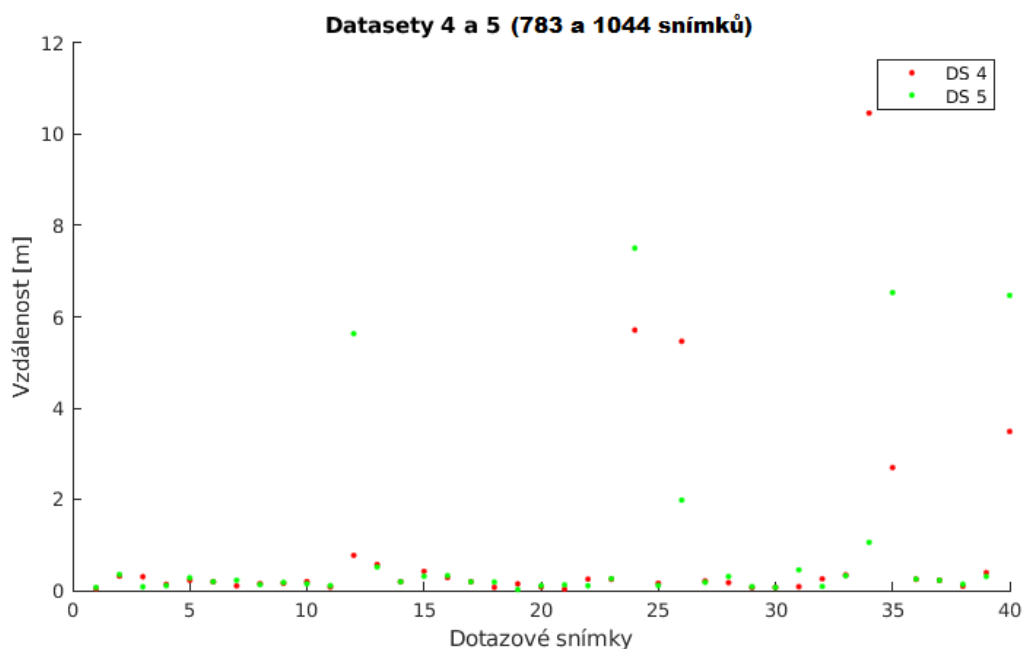
Dataset 3 (522 snímků), dotazový snímek 35, vybrané syntetické snímky



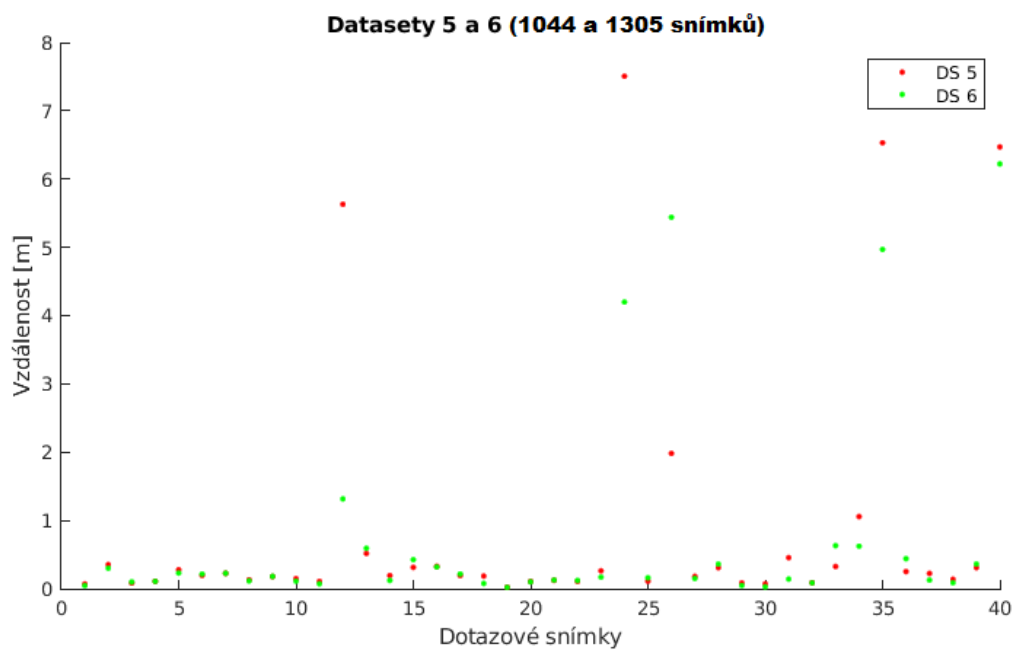
Obrázek 5.9: Dotazový snímek 35 a nejpodobnější syntetické snímky při použití datasetu o velikosti 522 snímků.



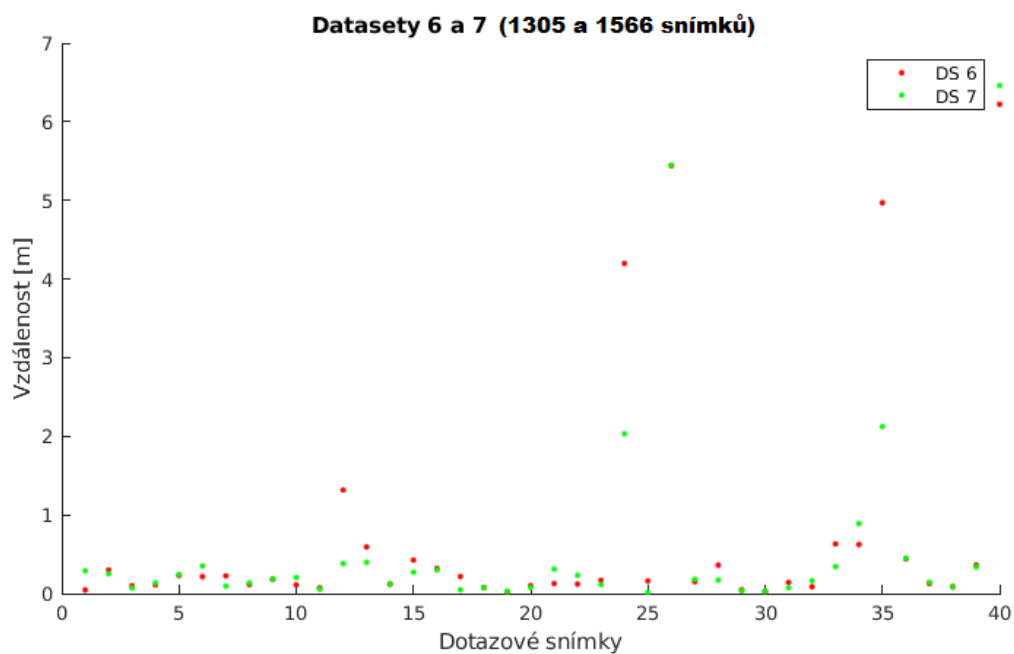
Obrázek 5.10: Čtvrtý dataset (783 snímků). Významné zhoršení přesnosti nastalo u 7,5% dotazových snímků.



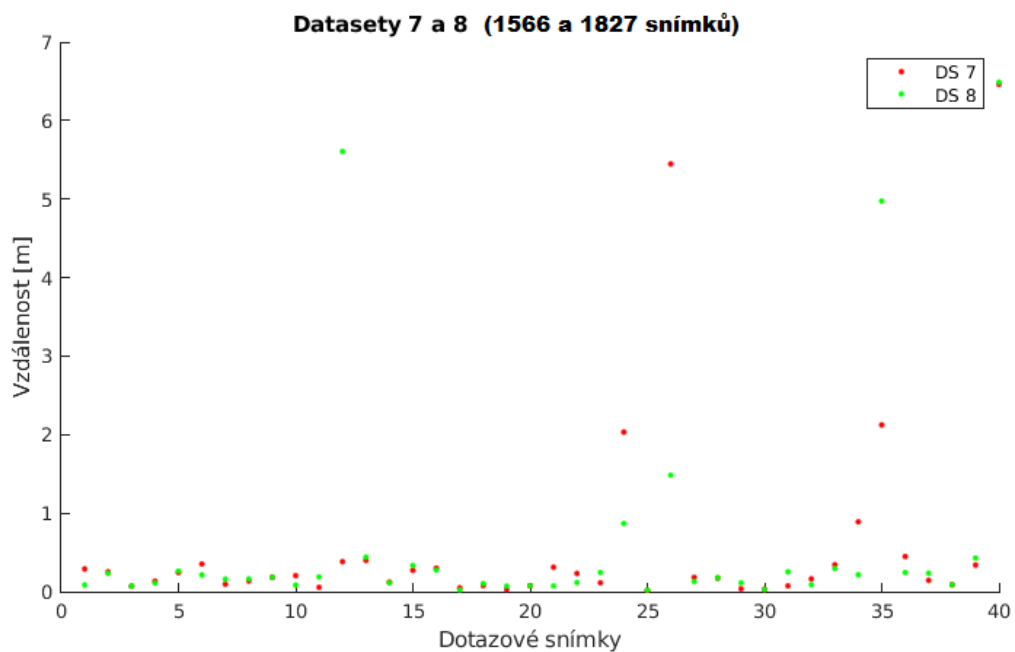
Obrázek 5.11: U pátého datasetu (1044 snímků) se projevilo významné zhoršení chyb u 12,5% dotazových snímků.



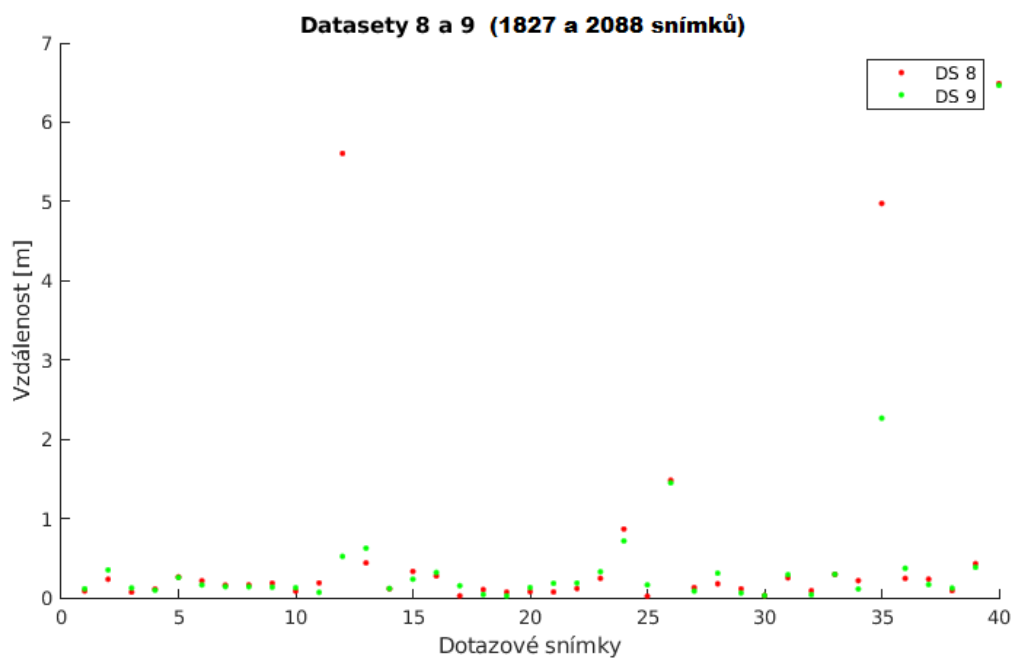
Obrázek 5.12: Šestý dataset (1305 snímků). Významné zhoršení přesnosti nastalo u 5% dotazových snímků.



Obrázek 5.13: Sedmý dataset (1566 snímků). Významné zhoršení přesnosti nastalo u 7,5% dotazových snímků.



Obrázek 5.14: Osmý dataset (1827 snímků). Významné zhoršení přesnosti nastalo u 5% dotazových snímků.



Obrázek 5.15: Devátý dataset (2088 snímků) zlepšil celou řadu dotazů. Významné zhoršení přesnosti nenastalo u žádného dotazového snímku.

Časté chyby, které způsobují výše popsané selhávání lokalizace, jsou detailně popsány v sekci níže.

■ 5.2 Různé chyby

Selhání lokalizace znamená, že odhadnutá póza kamery je buď lokalizována na zcela jiném místě, nebo na správném místě, ale např. se špatnou rotací kamery. Při selháních se dá pozorovat několik speciálních případů chyb.

■ Neexistence databázového snímku z podobné pozice

Aby byl InLoc spolehlivý, musí mít každý snímek, který chceme lokalizovat, korespondující snímek s dostatečně podobným úhlem pohledu a podobnou pozicí kamery v databázi. Obrázky 5.3 a 5.5 ukazují situaci, kdy se pro dotazový snímek s netypickým úhlem záběru nenašel dostatečně podobný databázový snímek, kvůli čemuž lokalizace selhala.

Tento problém se dá řešit doplněním datasetu o databázové snímky s různými úhly záběru (typickými i neobvyklými), tj. zvětšením počtu databázových snímků.

■ Záměna dvou vizuálně podobných míst

Pokud se ve zmapovaném prostředí vyskytuje více navzájem podobných míst, může se InLoc dopouštět chyb. Výběr nejpodobnějších snímků (databázových i syntetických) může obsahovat podobné snímky, ale velmi odlišné souřadnice a výsledný odhad pózy může být nepoužitelný. Jedná se o přirozenou vlastnost lokalizace ze snímku, proto tuto chybu není možné zcela odstranit, dá se však zredukovat. Níže jsou vyobrazeny příklady lokalizace v prostorách CIIRCu, kde k této chybě došlo.



Obrázek 5.16: Pro stejný dotazový snímek byl v každém běhu algoritmu s jiným datasetem vybrán jiný syntetický snímek s nejnižším mediánem chyby deskriptoru DSIFT.

Obrázek 5.16 ukazuje situaci, kdy pro stejný dotazový snímek byly ve dvou spuštěních InLocu vybrány dva různé syntetické snímky s nejnižší chybou. Při detailním pohledu je vidět, že vybrané syntetické snímky jsou sice velmi podobné, ale z úplně jiného místa. V případě datasetu 783 odhad pózy uspěl, ale pro dataset 1044 úplně selhal (nepřesnost v řádech metrů). Tato konkrétní chyba vznikla z důvodu nejednoznačnosti dotazového snímku. Ve zmapovaném prostředí je více stejných sloupů a stejný strop.

V současné verzi InLocu může dojít k situaci, kdy by měl být dotazový snímek jednoznačný (např. pohled do místnosti s rozmístěným nábytkem), ale lokalizace selže z důvodu upřednostnění syntetického snímku z jiného místa, kde je rozmístění předmětů sice podobné, ale na první pohled se jedná o jiný nábytek. Současná metoda obodování podobnosti syntetického snímku s dotazovým (výpočet popisuje rovnice 2.2) může přehlížet detaily, protože rozhodující je pro ni pouze medián chyb. Obrázek 5.17 jednu takovou situaci ukazuje.



Obrázek 5.17: Stejný dotazový snímek, ale zcela odlišné syntetické snímky ze dvou různých míst. Pro dataset o velikosti 1827 se lokalizace zdařila, pro dataset o velikosti 2088 selhala. Vybraný syntetický snímek dosáhl nižšího mediánu chyb deskriptoru DSIFT, a proto byl vybrán.

U této situace se nabízí otázka, zda selhání lokalizace má na svědomí jen špatný výběr syntetického snímku kvůli špatnému změření podobnosti s dotazovým snímek, nebo selhal už některý z předchozích kroků. Obrázek 5.18 ukazuje výsledek předchozího kroku, tedy geometrické verifikace (počítání inlierů mezi lokálními deskriptory algoritmem RANSAC). Výsledky geometrické verifikace byly pro datasey o velikostech 1827 a 2088 velmi podobné. Seznamy vybraných RGB-D snímků se sice lišily, ale prvních několik snímků bylo ve stejném pořadí a se stejným skóre. Krok geometrické verifikace vrátil pro oba datasey korektní výsledky. Chyba musela nastat až později – ve verifikaci syntetických snímků.



Obrázek 5.18: Krok geometrické verifikace dopadl úspěšně. Pro datasey 1827 a 2088 byly vybrány téměř stejné databázové snímky RGB-D. Prvních několik snímků bylo v identickém pořadí se stejným skóre (obrázek ukazuje první tři). RGB-D snímky s nejvíce inliery pochází ze stejného místa jako dotazový snímek

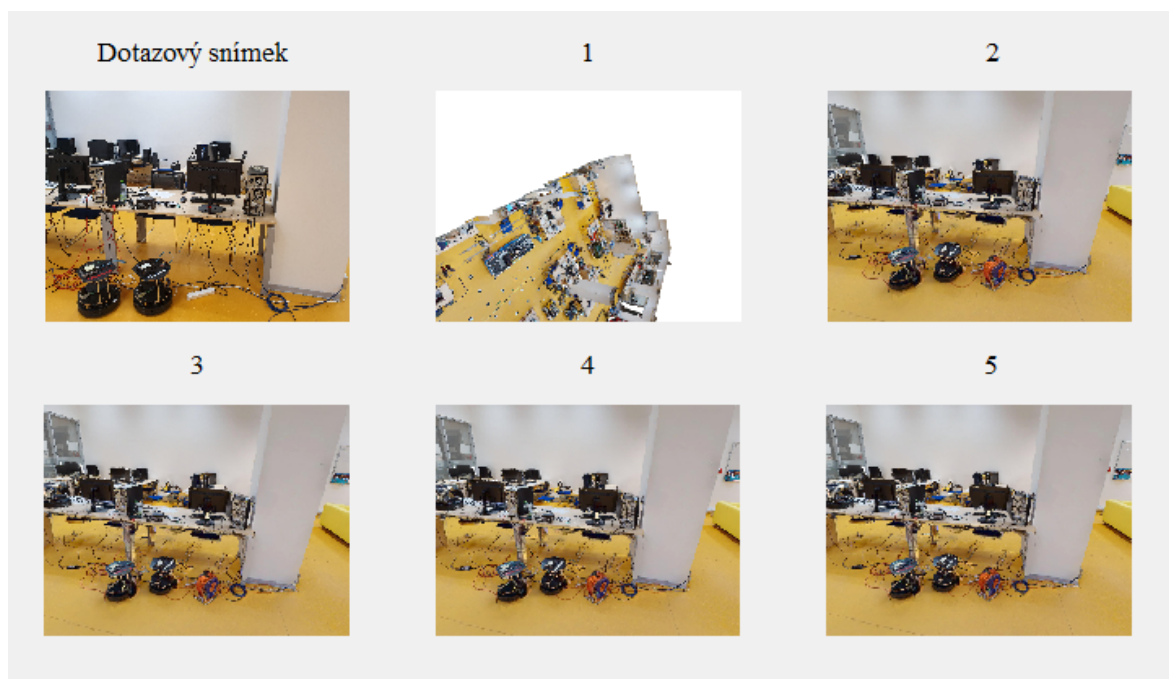
Záměna podobných míst při lokalizaci se dá minimalizovat několika způsoby:

- Zvýšit rozlišení syntetických snímků. Současná verze InLocu používá malé rozlišení 378x504. Proto popis snímku pomocí DSIFT přehlíží některé detaily.
- Nepoužívat nejednoznačné dotazy (např. zmíněný snímek světla na stropě)
- Použít jinou metodu než medián chyb deskriptorů DSIFT. Měření podobnosti dotazového snímku se syntetickým pomocí deskriptorů DSIFT funguje spolehlivě jen tehdy, když je odhadnutá póza velice přesná. I malá změna rotace či souřadnice středu kamery může zásadně zvýšit medián chyb, což může způsobit zavrnutí syntetického snímku ve prospěch jiného, který byl ale pořízen úplně jinde (takovou situaci ukazuje obrázek 5.17).

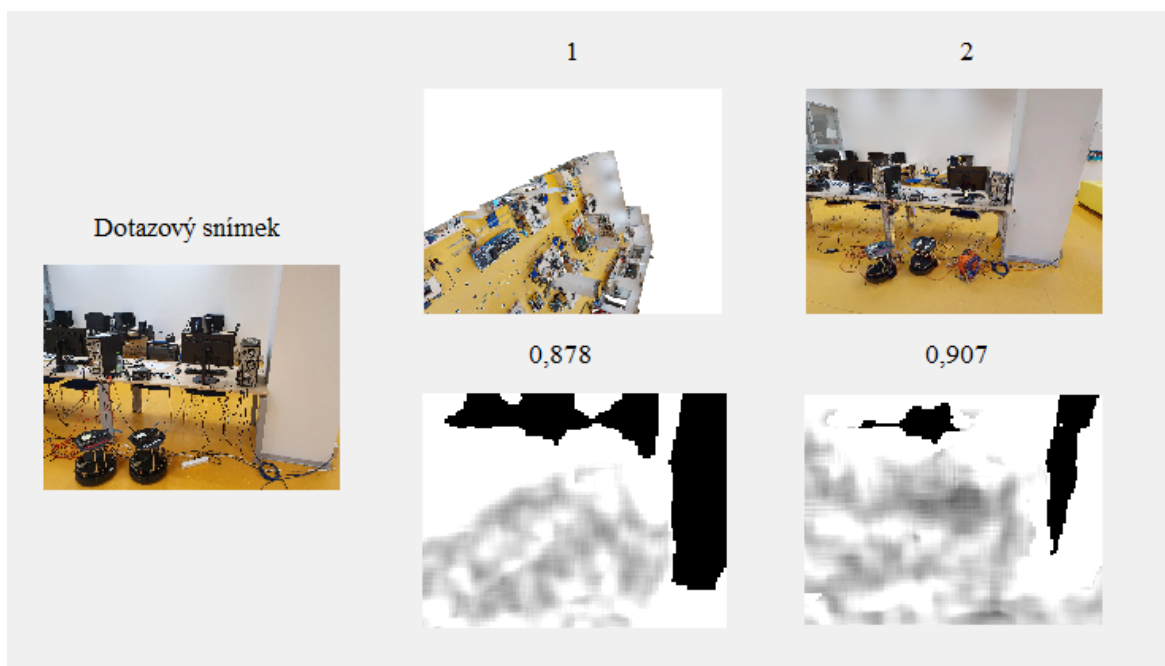
■ Odhadnutá póza kamery mimo zmapovaný prostor

Občas se vyskytují případy, kdy se v kroku PE (pose estimation) odhadne taková póza kamery, jejíž střed má souřadnice mimo zmapovaný prostor. Syntetický snímek vzniklý z této chybné pózy mívá obvykle bílé pozadí. Ve verifikačním kroku se takovým syntetickým snímkům obvykle přiřadí nízké skóre, ale obrázek 5.19 ukazuje výjimku, kdy byl tento chybný snímek vybrán jako nejpřesnější odhad. Odhadnutá pozice kamery byla v tomto případě $X=-1.1368$, $Y=7.9556$, $Z=-4.5940$. Chybný syntetický snímek je pohled na

zmapované prostředí skoro z osmimetrové výšky. Tento snímek byl vybrán jako nejlepší, protože tvar bílého pozadí je podobný tvaru bílých stěn na dotazovém snímku. Pro tyto rozsáhlé oblasti ve verifikačním kroku byla vypočtena téměř nulová chyba deskriptoru DSIFT a celkový medián chyby byl ze všech snímků nejnižší. Právě podle mediánu chyb se verifikuje podobnost syntetických snímků s dotazovým. Obrázek 5.20 ukazuje mapu chyb (čím tmavší barva, tím menší chyba)



Obrázek 5.19: Dotazový snímek a výběr pěti syntetických snímků s nejvyšším skóre podobnosti.



Obrázek 5.20: Dotazový snímek, mediány chyb a mapy chyb pro dva nejlépe hodnocené syntetické snímky. Medián chyb pro chybný syntetický snímek je 0,878, zatímco pro správný syntetický snímek 0,907.

Tato chyba by šla vyřešit několika způsoby:

1. Omezit souřadnice kamery dle velikosti zmapovaného prostředí. Pokud by bylo známo, které souřadnice jsou mimo prostředí, bylo by možné všechny odhadnuté kamery s takovými souřadnicemi vyloučit.
2. Na chybném snímku není vidět bílý strop místnosti, protože 3D model prostoru nepředpokládá renderování stropu shora. Kdyby byla textura stropu oboustranná, syntetický snímek by byl celý bílý a nemohl by být vybrán verifikací.
3. Místo bílého pozadí použít např. barevný šum, který se ve zmapovaném prostředí nevyskytuje.

Kapitola 6

Zrychlení algoritmu zvětšením datasetu a snížením m

V této kapitole je popsán experiment, který má ukázat, že zvětšením množiny databázových snímků stoupá přesnost odhadu pózy kamery, a proto s větší databází můžeme snížit m (počet vybíraných nejpodobnějších snímků k dotazovému snímku) a přitom zachovat přesnost výsledku a navíc významně zrychlit běh algoritmu, protože se sníží počet snímků, se kterými se provádí náročné výpočty (např. vyhledávání tentativních korespondencí mezi lokálními deskriptory). Cílem této práce není zvýšení rychlosti běhu triviálním snížením nároků na přesnost výsledku, proto je zachování přesnosti důležité.

Zvětšení databáze má pozitivní vliv na přesnost algoritmu, protože budou k dispozici RGB-D snímky z více pozic. Roste pravděpodobnost, že mezi m vybranými databázovými snímky s nejvyšším skóre podobnosti budou snímky pořízené z místa pořízení dotazového snímku a výsledný odhad bude moci dosáhnout vyšší přesnosti.

6.1 Měření přesnosti odhadu pózy

Odhad pózy kamery v praxi nemůže být úplně přesný. Můžou za to zaokrouhlovací chyby, přirozené zkreslení objektivu, omezené rozlišení i nepřesnost měření. V této kapitole se přesnost odhadnuté pózy měří dvěma čísly:

- eukleidovská vzdálenost skutečného středu kamery od odhadnutého středu kamery
- rotační vzdálenost mezi skutečnou rotací kamery a odhadnutou rotací kamery

Rotační vzdálenost mezi rotačními maticemi R_1 a R_2 je nezáporný úhel mezi R_1v a R_2v , kde v je libovolný nenulový vektor. Výsledná vzdálenost je vždy kladné číslo z intervalu $\langle 0; 180 \rangle$, tedy rotace větší než 180° se převedou na doplněk do 360° (např. 270° se převede na 90°). Rotační vzdálenost se měří tímto algoritmem:

```
R = R2*R1';
rot_distance = acos(0.5 * (trace(R)-1));
rot_distance = abs(rad2deg(rot_distance));
```

Pro každý dataset byl algoritmus spuštěn se čtyřiceti dotazovými snímky (tzn. 40 běhů algoritmu). Pro každý tento běh byl zjištěn průměr chyb (středu kamery i rotace), medián, minimum a maximum.

6.2 Postupné snižování m

Připomeňme, že m je počet nejpodobnějších snímků, které vrací první krok algoritmu - `ht_retrieval`. Pro tento počet snímků se v kroku `ht_top100_densePE_localization` provede vyhledání korespondencí s dotazovým snímkem a geometrická verifikace. InLoc poběží pro 9 datasetů různých velikostí pro každé vybrané m . Zpočátku nastavme původní hodnotu $m = 100$. Postupně se bude snižovat na 80, 60, 40 a 20.

U každého experimentu jsou k dispozici tabulky s detailními výsledky. Tabulky 6.11 a 6.12 shrnují mediány chyb všech experimentů pro všechny použité hodnoty m .

Způsob měření výkonu je popsán v sekci 7.2. Uvedené časy běhu jsou aritmetickým průměrem všech čtyřiceti běhů skriptu `ht_top100_densePE_localization`. Doba běhu tohoto skriptu právě na volbě hodnoty m závisí.

■ 6.2.1 Experiment - vliv velikosti datasetu na přesnost ($m=100$)

V tomto experimentu byl spuštěn algoritmus InLoc celkem 9x pro různě velké datasety. Pro každý dataset bylo použito 40 dotazových snímků. Experiment ukázal, že kvůli chybám, kterých se InLoc dopouští, není vždy navýšení velikosti datasetu zárukou vyšší přesnosti.

| velikost databáze | průměr [m] | medián [m] | minimum [m] | maximum [m] |
|-------------------|------------|------------|-------------|-------------|
| 261 | 1,61 | 0,27 | 0,02 | 12,89 |
| 391 | 1,08 | 0,22 | 0,06 | 11,58 |
| 522 | 0,97 | 0,21 | 0,04 | 6,48 |
| 783 | 0,88 | 0,20 | 0,02 | 10,46 |
| 1044 | 0,89 | 0,19 | 0,02 | 7,50 |
| 1305 | 0,73 | 0,16 | 0,01 | 6,22 |
| 1566 | 0,58 | 0,18 | 0,01 | 6,46 |
| 1827 | 0,63 | 0,17 | 0,01 | 6,48 |
| 2088 | 0,44 | 0,16 | 0,02 | 6,46 |

Tabulka 6.1: Vliv velikosti datasetu na přesnost odhadu pózy. Tabulka ukazuje vzdálenost středu odhadnuté kamery od skutečného středu kamery. Mezi nejmenším a největším datasetem skutečně došlo ke zlepšení, ale při postupném zvětšování datasetu se občas přesnost zhoršila. Mohou za to náhodné chyby popsané v předešlé kapitole.

| velikost databáze | průměr [°] | medián [°] | minimum [°] | maximum [°] |
|-------------------|------------|------------|-------------|-------------|
| 261 | 18,71 | 2,74 | 0,53 | 178,17 |
| 391 | 10,65 | 2,40 | 0,37 | 171,60 |
| 522 | 10,28 | 2,17 | 0,36 | 103,54 |
| 783 | 18,51 | 2,23 | 0,24 | 177,74 |
| 1044 | 13,83 | 2,24 | 0,47 | 177,32 |
| 1305 | 15,47 | 2,60 | 0,26 | 178,11 |
| 1566 | 9,47 | 1,98 | 0,32 | 177,98 |
| 1827 | 11,21 | 2,19 | 0,38 | 178,45 |
| 2088 | 4,57 | 1,86 | 0,29 | 89,30 |

Tabulka 6.2: Vliv velikosti datasetu na přesnost odhadu pózy. Tabulka ukazuje rotační vzdálenost skutečné rotace kamery a odhadnuté rotace kamery.

Je vidět, že mezi nejmenším a největším datasetem skutečně ke zlepšení přesnosti došlo, ale vývoj přesnosti s rostoucím datasetem je spíše náhodný. Může za to výskyt výše popsaných chyb. Toto chování je viditelné i pro výběr jiné hodnoty m .

Výběr hodnoty m má vliv na dobu běhu skriptu `ht_top100_densePE_localization`. Průměrná doba běhu této části algoritmu pro zvolených 9 datasetů a pro $m = 100$ je 99,2 sekund. Budeme sledovat zkracování této doby běhu při postupném snižování hodnoty m .

6.2.2 Experiment - vliv velikosti datasetu na přesnost ($m=80$)

Tento experiment je stejný, jen pro něj platí $m = 80$. Nižší počet vybíraných podobných snímků má zvýšit rychlost, ale potenciálně snížit přesnost.

| velikost databáze | průměr [m] | medián [m] | minimum [m] | maximum [m] |
|-------------------|------------|------------|-------------|-------------|
| 261 | 2,05 | 0,28 | 0,02 | 11,71 |
| 391 | 1,02 | 0,21 | 0,06 | 11,70 |
| 522 | 1,30 | 0,22 | 0,03 | 15,09 |
| 783 | 1,20 | 0,20 | 0,02 | 10,48 |
| 1044 | 0,86 | 0,18 | 0,01 | 7,41 |
| 1305 | 0,80 | 0,17 | 0,01 | 10,09 |
| 1566 | 0,71 | 0,18 | 0,02 | 7,33 |
| 1827 | 0,45 | 0,17 | 0,01 | 6,43 |
| 2088 | 0,51 | 0,17 | 0,01 | 6,44 |

Tabulka 6.3: Vliv velikosti datasetu na přesnost odhadu pózy. Tabulka ukazuje vzdálenost středu odhadnuté kamery od skutečného středu kamery.

| velikost databáze | průměr [°] | medián [°] | minimum [°] | maximum [°] |
|-------------------|------------|------------|-------------|-------------|
| 261 | 27,62 | 2,34 | 0,73 | 177,64 |
| 391 | 12,95 | 2,18 | 0,76 | 178,11 |
| 522 | 17,92 | 2,09 | 0,85 | 172,25 |
| 783 | 18,48 | 2,97 | 0,27 | 177,42 |
| 1044 | 15,91 | 2,39 | 0,61 | 178,11 |
| 1305 | 11,5 | 2,07 | 0,32 | 179,16 |
| 1566 | 10,91 | 2,08 | 0,25 | 167,21 |
| 1827 | 6,70 | 1,96 | 0,21 | 90,47 |
| 2088 | 4,66 | 1,79 | 0,14 | 88,84 |

Tabulka 6.4: Vliv velikosti datasetu na přesnost odhadu pózy. Tabulka ukazuje rotační vzdálenost skutečné rotace kamery a odhadnuté rotace kamery.

Je vidět, že mezi nejmenším a největším datasetem skutečně ke zlepšení přesnosti došlo, ale vývoj přesnosti s rostoucím datasetem je spíše ná-

hodný. Může za to výskyt výše popsaných chyb. Průměrná doba běhu skriptu `ht_top100_densePE_localization` pro $m = 80$ je 79,2 sekund.

6.2.3 Experiment - vliv velikosti datasetu na přesnost ($m=60$)

Tento experiment je stejný, jen pro něj platí $m = 60$. Nižší počet vybíraných podobných snímků má zvýšit rychlost, ale potenciálně snížit přesnost.

| velikost databáze | průměr [m] | medián [m] | minimum [m] | maximum [m] |
|-------------------|------------|------------|-------------|-------------|
| 261 | 2,08 | 0,30 | 0,02 | 14,08 |
| 391 | 0,92 | 0,20 | 0,05 | 6,45 |
| 522 | 1,08 | 0,21 | 0,02 | 11,73 |
| 783 | 1,14 | 0,20 | 0,03 | 10,45 |
| 1044 | 1,22 | 0,16 | 0,02 | 10,58 |
| 1305 | 0,89 | 0,19 | 0,02 | 9,58 |
| 1566 | 0,81 | 0,17 | 0,02 | 10,48 |
| 1827 | 0,50 | 0,18 | 0,04 | 6,45 |
| 2088 | 0,57 | 0,16 | 0,02 | 7,85 |

Tabulka 6.5: Vliv velikosti datasetu na přesnost odhadu pózy. Tabulka ukazuje vzdálenost středu odhadnuté kamery od skutečného středu kamery.

| velikost databáze | průměr [°] | medián [°] | minimum [°] | maximum [°] |
|-------------------|------------|------------|-------------|-------------|
| 261 | 28,16 | 2,84 | 0,91 | 175,85 |
| 391 | 12,03 | 2,44 | 0,93 | 178,14 |
| 522 | 17,82 | 2,35 | 0,67 | 179,25 |
| 783 | 20,19 | 2,49 | 0,28 | 178,41 |
| 1044 | 22,29 | 1,85 | 0,25 | 179,95 |
| 1305 | 15,69 | 2,12 | 0,21 | 177,59 |
| 1566 | 11,43 | 2,09 | 0,38 | 174,46 |
| 1827 | 6,97 | 2,08 | 0,62 | 92,29 |
| 2088 | 6,25 | 1,83 | 0,32 | 92,41 |

Tabulka 6.6: Vliv velikosti datasetu na přesnost odhadu pózy. Tabulka ukazuje rotační vzdálenost skutečné rotace kamery a odhadnuté rotace kamery.

Průměrná doba běhu skriptu `ht_top100_densePE_localization` pro $m = 60$ je 62,5 sekund.

6.2.4 Experiment - vliv velikosti datasetu na přesnost ($m=40$)

Tento experiment je stejný, jen pro něj platí $m = 40$. Nižší počet vybíraných podobných snímků má zvýšit rychlost, ale potenciálně snížit přesnost.

| velikost databáze | průměr [m] | medián [m] | minimum [m] | maximum [m] |
|-------------------|------------|------------|-------------|-------------|
| 261 | 1,84 | 0,33 | 0,04 | 11,79 |
| 391 | 1,67 | 0,26 | 0,01 | 10,74 |
| 522 | 1,63 | 0,18 | 0,03 | 15,29 |
| 783 | 1,60 | 0,21 | 0,01 | 15,78 |
| 1044 | 1,36 | 0,17 | 0,04 | 10,49 |
| 1305 | 0,88 | 0,18 | 0,02 | 9,87 |
| 1566 | 0,85 | 0,18 | 0,01 | 9,52 |
| 1827 | 0,76 | 0,19 | 0,06 | 7,81 |
| 2088 | 0,72 | 0,18 | 0,02 | 9,75 |

Tabulka 6.7: Vliv velikosti datasetu na přesnost odhadu pózy. Tabulka ukazuje vzdálenost středu odhadnuté kamery od skutečného středu kamery.

| velikost databáze | průměr [°] | medián [°] | minimum [°] | maximum [°] |
|-------------------|------------|------------|-------------|-------------|
| 261 | 25,07 | 2,85 | 0,54 | 177,65 |
| 391 | 23,89 | 2,36 | 0,45 | 177,16 |
| 522 | 20,28 | 2,11 | 0,59 | 175,67 |
| 783 | 23,99 | 2,66 | 0,32 | 179,85 |
| 1044 | 19,43 | 2,46 | 0,24 | 176,82 |
| 1305 | 12,29 | 1,97 | 0,34 | 176,83 |
| 1566 | 15,96 | 2,08 | 0,15 | 179,02 |
| 1827 | 11,18 | 2,00 | 0,20 | 172,72 |
| 2088 | 10,78 | 1,83 | 0,67 | 170,42 |

Tabulka 6.8: Vliv velikosti datasetu na přesnost odhadu pózy. Tabulka ukazuje rotační vzdálenost skutečné rotace kamery a odhadnuté rotace kamery.

Je vidět, že mezi nejmenším a největším datasetem skutečně ke zlepšení přesnosti došlo, ale vývoj přesnosti s rostoucím datasetem je spíše náhodný. Může za to výskyt výše popsaných chyb. Průměrná doba běhu skriptu `ht_top100_densePE_localization` pro $m = 40$ je 50,2 sekund.

6.2.5 Experiment - vliv velikosti datasetu na přesnost ($m=20$)

Tento experiment je stejný, jen pro něj platí $m = 20$. Nižší počet vybíraných podobných snímků má zvýšit rychlost, ale potenciálně snížit přesnost.

| velikost databáze | průměr [m] | medián [m] | minimum [m] | maximum [m] |
|-------------------|------------|------------|-------------|-------------|
| 261 | 5,12 | 4,48 | 0,93 | 19,11 |
| 391 | 5,32 | 3,77 | 0,94 | 21,26 |
| 522 | 3,69 | 3,47 | 1,25 | 9,71 |
| 783 | 4,92 | 3,88 | 1,44 | 16,97 |
| 1044 | 1,40 | 0,17 | 0,01 | 13,07 |
| 1305 | 0,95 | 0,22 | 0,02 | 7,79 |
| 1566 | 0,82 | 0,18 | 0,02 | 8,22 |
| 1827 | 0,72 | 0,19 | 0,01 | 6,82 |
| 2088 | 0,90 | 0,18 | 0,02 | 7,79 |

Tabulka 6.9: Vliv velikosti datasetu na přesnost odhadu pózy. Tabulka ukazuje vzdálenost středu odhadnuté kamery od skutečného středu kamery.

| velikost databáze | průměr [°] | medián [°] | minimum [°] | maximum [°] |
|-------------------|------------|------------|-------------|-------------|
| 261 | 61,90 | 39,60 | 4,78 | 178,66 |
| 391 | 23,45 | 52,14 | 3,77 | 178,71 |
| 522 | 46,47 | 20,74 | 2,58 | 179,98 |
| 783 | 68,35 | 58,85 | 5,48 | 179,94 |
| 1044 | 20,61 | 1,98 | 0,24 | 177,56 |
| 1305 | 12,68 | 2,65 | 0,27 | 172,83 |
| 1566 | 11,80 | 2,06 | 0,14 | 175,10 |
| 1827 | 8,72 | 2,12 | 0,70 | 86,41 |
| 2088 | 13,13 | 2,49 | 0,17 | 177,35 |

Tabulka 6.10: Vliv velikosti datasetu na přesnost odhadu pózy. Tabulka ukazuje rotační vzdálenost skutečné rotace kamery a odhadnuté rotace kamery.

Pokud zvolíme $m = 20$, objevují se vyšší nepřesnosti v odhadu. To je viditelné u nejmenších datasetů, zatímco největší datasety poskytují stále velmi přesné odhady. U takto nízkých hodnot m je velikost a kvalita datasetu ještě důležitější než u vysokých hodnot m . Pro $m = 20$ je medián odchylek odhadnutých středů kamery u největšího datasetu téměř $25\times$ nižší než u nejmenšího datasetu. U vyšších hodnot m nebyly tyto rozdíly tak propastné. Průměrná doba běhu skriptu `ht_top100_densePE_localization` pro $m = 20$ je 42,1 sekund.

6.3 Vyhodnocení

Následující dvě tabulky shrnují výsledky předchozích experimentů pro různé hodnoty m . Uvádějí medián chyby při použití různých datasetů a různých hodnot m .

| Mediány chyb pro různé datasety | m=100 [m] | m=80 [m] | m=60 [m] | m=40 [m] | m=20 [m] |
|---------------------------------|-----------|----------|----------|----------|----------|
| 261 | 0,27 | 0,28 | 0,30 | 0,33 | 4,48 |
| 391 | 0,22 | 0,21 | 0,20 | 0,26 | 3,77 |
| 522 | 0,21 | 0,22 | 0,21 | 0,18 | 3,47 |
| 783 | 0,20 | 0,20 | 0,20 | 0,21 | 3,88 |
| 1044 | 0,19 | 0,18 | 0,16 | 0,17 | 0,17 |
| 1305 | 0,16 | 0,17 | 0,19 | 0,18 | 0,22 |
| 1566 | 0,18 | 0,18 | 0,17 | 0,18 | 0,18 |
| 1827 | 0,17 | 0,17 | 0,18 | 0,19 | 0,19 |
| 2088 | 0,16 | 0,17 | 0,16 | 0,18 | 0,18 |

Tabulka 6.11: Vliv velikosti datasetu na přesnost odhadu pózy. Tabulka ukazuje vzdálenost skutečného středu kamery od odhadnutého v metrech.

| Mediány chyb pro různé datasety | m=100 [°] | m=80 [°] | m=60 [°] | m=40 [°] | m=20 [°] |
|---------------------------------|-----------|----------|----------|----------|----------|
| 261 | 2,74 | 2,34 | 2,84 | 2,85 | 39,60 |
| 391 | 2,40 | 2,18 | 2,44 | 2,36 | 52,14 |
| 522 | 2,17 | 2,09 | 2,35 | 2,11 | 20,74 |
| 783 | 2,23 | 2,97 | 2,49 | 2,66 | 58,85 |
| 1044 | 2,24 | 2,39 | 1,85 | 2,46 | 1,98 |
| 1305 | 2,60 | 2,07 | 2,12 | 1,97 | 2,65 |
| 1566 | 1,98 | 2,08 | 2,09 | 2,08 | 2,06 |
| 1827 | 2,19 | 1,96 | 2,08 | 2,00 | 2,12 |
| 2088 | 1,86 | 1,79 | 1,83 | 1,83 | 2,49 |

Tabulka 6.12: Vliv velikosti datasetu na přesnost odhadu pózy. Tabulka ukazuje rotační vzdálenost skutečné rotace kamery a odhadnuté rotace kamery.

Není překvapivé, že výběr nižšího počtu snímků urychlí běh algoritmu. Hledání tentativních korespondencí patří mezi výpočetně náročné operace. Průměrné doby běhu skriptu `ht_top100_densePE_localization` pro vybrané hodnoty m jsou: **99,2; 79,2; 62,5; 50,2 a 42,1 sekund**. Průměrují se doby běhů algoritmu pro 40 různých dotazových snímků.

Výběr hodnoty m má sice na přesnost a na počet selhání určitý vliv, jak naznačují tabulky výše, ale mnohem důležitější je velikost datasetu. Průměrné chyby rotační vzdálenosti a vzdálenosti odhadnutého středu kamery od skutečného jsou často mezi nejmenším a největším datasetem několikanásobné (rozdíly v mediánech chyb u malých a velkých datasetů nejsou ale tak propastné). Např. největší dataset poskytoval pro $m = 40$ přesnější odhady než nejmenší dataset pro $m = 100$, samozřejmě také v kratším čase. Větší datasety než 2088 snímků nebyly v době provádění těchto experimentů k dispozici, nicméně lze tušit další zlepšení přesnosti.

Experimenty ukázaly, že nejpodstatnější je kvalitní a rozsáhlý dataset. **Je možné snížit čas běhu algoritmu snížením hodnoty m .** Vzniklé zhoršení přesnosti lze poměrně snadno kompenzovat rozšířením (a zkvalitněním) datasetu. Samozřejmě pro každý dataset platí, že vyšší hodnota m zvýší přesnost, ale vždy to značně prodlouží čas běhu algoritmu. Pro každou reálnou aplikaci algoritmu InLoc lze výběrem hodnoty m stanovit buďto důraz na přesnost, nebo důraz na výkon.

Kapitola 7

Experimenty

7.1 Prostředí běhu

Všechny experimenty byly spouštěny na clusteru CIIRC. Jedná se o sestavu sedmnácti výpočetních nodů s různou hardwarovou výbavou. Paměť RAM jednotlivých nodů dosahuje 512GB. Některé nody jsou vybaveny osmi GPU (NVIDIA Tesla V100 SXM2 32 GB). Softwarová výbava je poskytována nástrojem ml a výpočetní výkon se rezervuje nástrojem Slurm.

7.1.1 Výhody práce na clusteru CIIRC

1. Na clusteru je možno pomocí programu Slurm rezervovat přesně definovaný výpočetní výkon (velikost RAM, počet jader CPU, počet GPU aj.), což umožňuje spouštět experimenty v různých podmínkách.
2. Pomocí systému ml je poskytováno velké množství modulů, aplikací a knihoven v různých verzích. Cluster poskytuje několik stovek modulů, mimo jiné matematické knihovny (např. Eigen), kompilátory (např. GCC), nástroje pro CUDA, Matlab a další.
3. Do clusteru je zapojeno velké množství výkonných strojů, jejichž výpočetní výkon se dá rezervovat. Proto je možné spouštět paralelně více úloh, nebo práce mnoha uživatelů najednou.

7.1.2 Nevýhody práce na clusteru

1. Výpočetní nody neimplementují X forwarding, proto na nich lze pracovat s příkazovým řádkem, ale ne s aplikacemi využívajícími GUI. Práci s GUI podporuje pouze "head node", který pro změnu není určen pro náročné výpočty.
2. Kvůli bezpečnosti clusteru je vždy nutné pracovat bez sudo práv.

7.1.3 Rezervace výpočetního výkonu pomocí Slurm

Po připojení na cluster se uživatel nachází na stroji head, který slouží jako vstupní brána do clusteru a není určen na spouštění náročných výpočtů, neboť by mohly zneprůchodnit přístup na cluster. Pro náročné výpočty je nutno alokovat výpočetní výkon pomocí systému Slurm. Pro práci se slurmem se používají mimo jiné dva základní příkazy: `srun` a `sbatch`.

■ Příkaz `srun`

Příkaz `srun` uživatele podle zadaných požadavků přepojí na výpočetní node. Tento příkaz je interaktivní a blokující, tedy uživatel dále pracuje na příkazovém řádku cílového stroje a výsledky se vypisují do konzole. Výhodou příkazu je interaktivita. Nevýhodou je závislost rezervovaného výkonu a právě probíhajících operací na síťovém spojení vzdáleného nodu s vlastním počítačem uživatele. Např. při výpadku sítě nebo při restartu počítače uživatele může automaticky dojít k uvolnění výpočetního výkonu a ukončení probíhajících operací. Příkaz `srun` se hodí pro manuální úlohy vyžadující přítomnost uživatele, naopak pro automaticky běžící úlohy se nehodí.

Příkaz `srun`, který byl použit pro alokaci výpočtů pro některé zde uvedené experimenty, vypadá takto:

```
srun --mem=64G --time=0-35:00:00 --partition=gpu --gres=gpu:1
      --cpus-per-gpu=16 --job-name=MyJob_%j --pty bash
```

Tento příkaz alokuje paměť RAM 64GB. Časový limit na dokončení výpočtů je 35 hodin. Po vypršení limitu budou všechny běžící procesy ukončeny a

alokovaný výpočetní výkon bude uvolněn. Bude rovněž umožněno využívat výkon GPU.

■ Příkaz sbatch

Příkaz sbatch spustí na výpočetním stroji zadaný skript. Tento příkaz není ani interaktivní ani blokuující, tedy uživatel není na cílový výpočetní stroj vůbec přesměrován. Výsledky se nevypisují do konzole, ale do souboru. Tento příkaz se hodí pro automaticky běžící úlohy, ale pro manuální práci nelze použít. Příkaz sbatch, který byl použit pro alokaci výpočtů pro některé zde uvedené experimenty, vypadá takto:

```
sbatch runall.sh
```

Příkaz sbatch spustí zadaný skript. Součástí skriptu je i definice rezervovaného výpočetního výkonu pro slurm, seznam načítaných knihoven a spuštění samotných výpočetních úloh:

```
#!/bin/bash
#SBATCH --mem=128G
#SBATCH --time=0-35:00:00
#SBATCH --partition=gpu
#SBATCH --gres=gpu:1
#SBATCH --cpus-per-gpu=16
#SBATCH --job-name=MyJob_%j.log

source activate inlocul
ml load MATLAB
ml load CUDA/9.1.85
ml load SuiteSparse/5.1.2-foss-2018b-METIS-5.1.0
ml load cuDNN/7.0.5-CUDA-9.1.85
# samotný příkaz spuštění výpočetní operace
matlab -batch run_inloc_demo_100_10
```

7.2 Způsob měření výkonu

Všechny experimenty byly spouštěny na clusteru a byl jim přidělen stejný výpočetní výkon a stejný hardware. Všechny experimenty byly spouštěny pomocí sbatch nebo srun s výše zmíněnými parametry, tedy 128 GB RAM, CPU (Intel(R) Xeon(R) CPU E5-2690 v4 @ 2.60GHz) a jedno zařízení GPU (NVIDIA Tesla V100 SXM2 32 GB).

Měří se **celková doba běhu v sekundách**. Pro tento algoritmus je to vhodnější než měření procesorového času, protože součástí algoritmu je několik I/O operací, např. načítání snímků a jejich popisných matic z databáze. Tyto souborové operace by nebyly při měření procesorového času zaznamenány.

Každý experiment se spouští opakovaně (počet opakování je vždy uveden v popisu experimentu) a doba běhu se spočítá **aritmetickým průměrem** všech běhů.

7.3 Výkon Matlabu

Kód Matlabu se nekompiluje, ale je spouštěn interpretem. Výkon je proto omezen nutností interpretovat jednotlivé příkazy a spravovat pracovní prostor. Nelze ani zdrojový kód nijak optimalizovat. Z toho plyne fakt, že při využívání Matlabu se vyplatí využívat hromadné maticové operace, pro které interpretace příkazu zabere mnohem kratší dobu než samotné provedení příkazu. Maticové výpočty se navíc interně provádějí ve zkompileovaných knihovnách. V některých situacích je ale nutné využít místo hromadných operací např. cykly, což má za následek interpretování mnoha drobných operací, které při spouštění skriptů způsobují velké latence. Pokud záleží na výkonu, je nutné tyto části přepsat do C/C++ a zkompileovat jako knihovnu MEX.

Následující tabulka ukazuje příklady operací Matlabu a jejich výkon při použití maticových operací v porovnání s rozepsáním těchto operací do for cyklů. Tento experiment byl spuštěn a změřen dle metodologií popsaných v 7.2 a 7.1.3. Byl opakován 100x a uvedené časy jsou aritmetickým průměrem všech běhů dané funkce. Kód experimentu je k nahlédnutí v souboru test_matlab_performance.m.

| operace | trvání maticové operace [ms] | trvání for cyklu [ms] |
|--------------------------------------|------------------------------|-----------------------|
| Vytvoření 10^7 náhodných 3D bodů | 235 | 870 |
| Projekce 10^7 bodů kamerou | 171 | 20746 |
| Normalizace 10^7 promítnutých bodů | 58 | 6108 |

Tabulka 7.1: Ukazuje výkony vybraných operací, pokud jsou provedeny maticově (tj. zpracují se všechna data najednou), nebo jsou provedeny pomocí for cyklu.

Vytvoření náhodných 3D bodů je nejjednodušší operace s minimem maticových operací. V experimentu uvažujeme 10^7 bodů, tj. stejný počet cyklů v kódu. Porovnání běží v prostředí bez dalších proměnných a ukazuje primárně zpoždění způsobené interpretací.

Projekce bodů vyžaduje převedení bodů do homogenních souřadnic. Je mnohem efektivnější rozšířit celou matici bodů než každý bod převádět jednotlivě. Deset milionů těchto drobných operací vyžaduje řádově více času než jedna maticová operace.

Normalizace bodů je vydělení výsledných promítnutých 2D bodů jejich třetí homogenní souřadnicí. Jedna vektorová operace si vyžádala $105,3\times$ méně času.

7.4 Profilace produkční verze (bez paralelního kódu)

Algoritmus InLoc se obvykle spouští na více vláknech, protože některé jeho části lze jednoduše rozdělit do nezávislých podúloh. Vestavěná profilace kódu v Matlabu ale neprofiluje paralelní kód detailně. Výsledné profilace dokumentují paralelní kód jako nedělitelnou jednotku, tedy jednotlivé části paralelního kódu nejsou změřeny odděleně. Aby bylo možné vybrat nejpomalejší části, které jsou vhodné k přepisu, bylo nutné spustit celý algoritmus na jednom vlákne (tj. nahradit všechny paralelní cykly parfor za cykly for). Tabulka ukazuje výsledky této upravené implementace určené k profilaci všech funkcí.

| funkce / velikost databáze | 261 | 522 | 1044 | 2088 | počet volání |
|------------------------------------|-------|--------|--------|-------|--------------|
| Celkový čas běhu InLocu [s] | 933 | 948,5 | 1026,0 | 983,2 | - |
| ht_retrieval | 12,9 | 13,3 | 15,3 | 17,7 | 1 |
| » getScore1Query | 12,6 | 12,8 | 14,2 | 15,7 | 1 |
| »» getFeatures1Query | 12,2 | 12,0 | 12,9 | 13,3 | 1 |
| »»» at_serialAllFeats_convfeat | 8,1 | 8,0 | 8,4 | 8,6 | 1 |
| ht_top100_densePE_localization | 486,0 | 504,3 | 535 | 478,4 | 1 |
| » parfor_dense_GV | 440,2 | 459,7 | 486,7 | 425,4 | 10 |
| »» at_coarse2fine_matching | 251,6 | 268,9 | 286,4 | 219,0 | 10 |
| »»» at_dense_tc | 142,9 | 163,8 | 176,2 | 130,6 | *27657 |
| »» at_densersac | 181,2 | 179,0 | 189,6 | 194,6 | 100 |
| »»» at_ransacH4 | 181,0 | 178,9 | 189,5 | 194,5 | 200 |
| » parfor_dense_PE | 25,6 | 24,6 | 29,1 | 31,5 | 10 |
| »» ht_lo_ransac_p3p | 25,3 | 23,1 | 27,2 | 28,6 | 10 |
| » at_serialAllFeats_convfeat | 7,0 | 6,9 | 7,4 | 7,5 | 1 |
| ht_top10_densePV_localization | 434,2 | 430,7 | 474,7 | 487,0 | 1 |
| » parfor_densePV | 433,8 | 430,5 | 474,5 | 486,8 | 10 |
| »» projectMesh | 426,0 | 422,55 | 466,4 | 478,5 | 10 |
| »»» system | 425,9 | 422,4 | 466,3 | 478,4 | 10 |

Tabulka 7.2: Profilace nezrychlené produkční verze, jedno vlákno

* Počet volání označený hvězdičkou je průměrný počet volání. Pro každý dotaz se počet volání liší.

7.5 Profilace produkční verze (s paralelním kódem)

| funkce / velikost databáze | 261 | 522 | 1044 | 2088 | počet volání |
|------------------------------------|--------|-------|-------|-------|--------------|
| Celkový čas běhu InLocu [s] | 267,1 | 254,3 | 259,3 | 260,4 | - |
| ht_retrieval | 13,6 | 13,6 | 13,5 | 12,5 | 1 |
| » getScore1Query | 13,3 | 13,2 | 13,1 | 11,4 | 1 |
| »» getFeatures1Query | 13,0 | 12,8 | 12,7 | 10,5 | 1 |
| »»» at_serialAllFeats_convfeat | 7,9 | 7,7 | 8,7 | 6,7 | 1 |
| ht_top100_densePE_localization | 127,6 | 125,5 | 128,2 | 120,7 | 1 |
| »» parallel_function | 91,0 | 90,1 | 91,2 | 88,1 | 1 |
| ht_top10_densePV_localization | 125,85 | 125,0 | 118,4 | 117 | 1 |
| » parallel_function | 100,3 | 100,2 | 108,6 | 90,6 | 1 |

Tabulka 7.3: Profilace produkční verze.

7.6 Profilace zrychlené produkční verze (s paralelním kódem)

| funkce / velikost databáze | 261 | 522 | 1044 | 2088 | počet volání |
|---------------------------------------|--------------|--------------|--------------|--------------|--------------|
| Celkový čas běhu InLocu [s] | 244,9 | 239,3 | 241,9 | 244,9 | - |
| ht_retrieval | 13,5 | 12,5 | 14,0 | 14,6 | 1 |
| » getScore1Query | 12,8 | 11,8 | 12,8 | 12,9 | 1 |
| »» getFeatures1Query | 11,5 | 11,3 | 11,7 | 11,5 | 1 |
| »»» at_serialAllFeats_convfeat | 7,6 | 7,2 | 9,7 | 9,2 | 1 |
| ht_top100_densePE_localization | 105,8 | 93,1 | 95,2 | 100,8 | 1 |
| » parfor_dense_GV | 74,6 | 70,9 | 72,4 | 80,3 | 1 |
| »» at_coarse2fine_matching | 30,3 | 28,8 | 28,0 | 32,5 | 1 |
| »»» parallel_function | 28,1 | 27,8 | 26,1 | 27,5 | 1 |
| »»» get_tcs_cublas [*] | 1,4 | 1,2 | 1,2 | 1,4 | 1 |
| »»» at_cnnfeat2vlfeat | 4,5 | 3,5 | 3,6 | 4,3 | 202 |
| »» parallel_function | 33,6 | 27,8 | 27,6 | 32,6 | 1 |
| ht_top10_densePV_localization | 123,5 | 128,5 | 127,3 | 122,7 | 1 |
| » parallel_function | 106,9 | 101,6 | 110,2 | 109,2 | 1 |

Tabulka 7.4: Profilace zrychlené produkční verze. Tučným písmem jsou vyznačeny části, kde došlo díky nové implementaci ke zrychlení.

[*] Tato funkce je mnohonásobně rychlejší než původní funkce `at_dense_tc` díky využití C++ (knihovny MEX), grafické karty a hromadného zpracování dat.

7.7 Výběr nejlepší implementace `get_tcs`

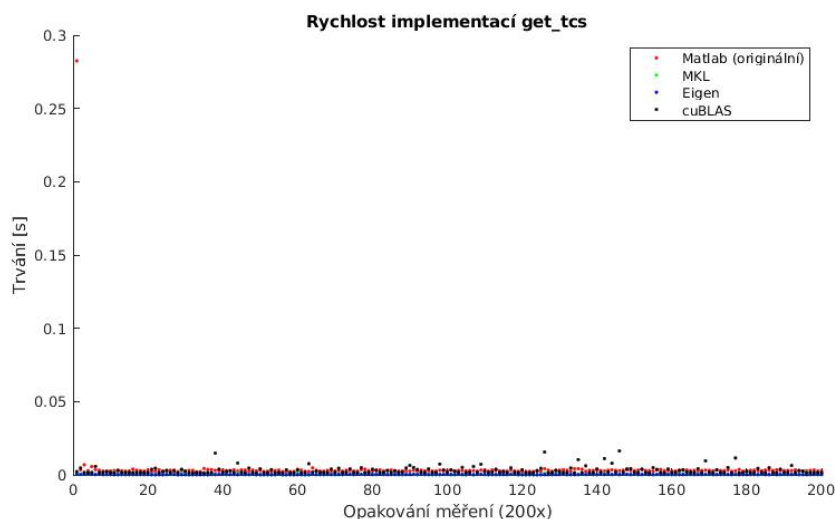
Funkce `get_tcs`, která byla napsána v C++ a má nahradit funkci Matlabu `at_dense_tc`, byla napsána ve více variantách, aby se vyzkoušelo více knihoven. Byly vyzkoušeny již zmíněné knihovny MKL, Eigen a cuBLAS. Knihovna cuBLAS provádí výpočty na GPU spolu s ní byl použit i kernel CUDA, který rovněž zrychluje běh funkce a minimalizuje objem přenášených dat z GPU do CPU. Všechny čtyři implementace využívají paralelní běh na více vláknech.

Původní `at_dense_tc` a všechny tři varianty `get_tcs` byly spuštěny 200x na třech různě velkých úlohách. V nové implementaci se `get_tcs` volá ve funkci `at_coarse2fine_matching` na dvou místech – jednou pro nalezení tentativních

korespondencí mezi jedním dotazovým a m databázovými snímky, poté pro nalezení tentativních korespondencí v okolí jednoho bodu. Jsou to různě velké instance úlohy. Pro detailnější porovnání výkonu budou všechny čtyři varianty profilovány s různě velkými instancemi úlohy.

■ Malá úloha

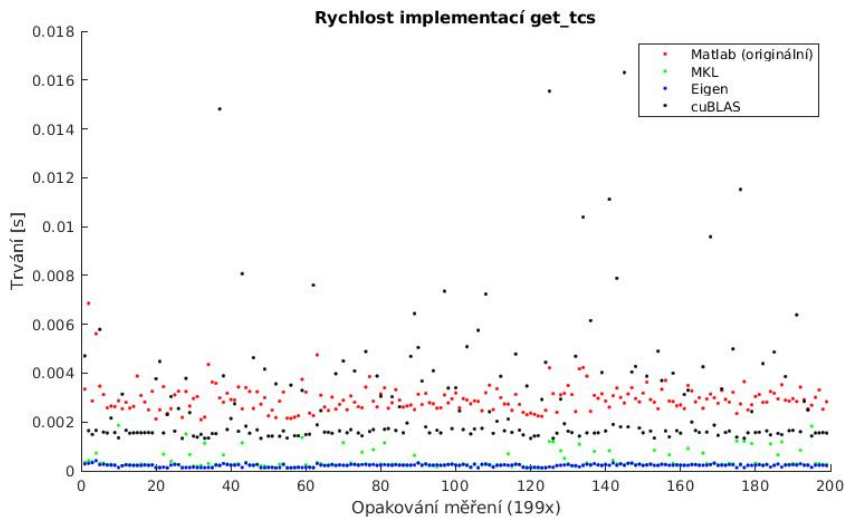
V této úloze se hledají tentativní korespondence mezi dvěma maticemi o rozměru 100×100 . Úloha má ukázat, zda je použití cuBLAS výhodné pro menší instance úlohy hledání tentativních korespondencí, nebo zda se v těchto případech hodí jiná knihovna, která provádí výpočty na CPU. Pro tuto úlohu



Obrázek 7.1: Porovnání výkonu `at_dense_tc` s variantami `get_tc` na malé úloze

Tento graf zobrazuje velmi nevyvážené výsledky. Graf ukazuje, že první spuštění původní funkce Matlabu `at_dense_tc` vykazuje násobně horší výkon než všechna další spuštění (viz. červená tečka vlevo nahoře). Je to způsobeno tím, že Matlab po prvním vstupu do paralelního cyklu (`parfor`) inicializuje paralelní běhové prostředí. Je to počáteční investice umožňující v dalších průchodech používat paralelismus. Jedná se o jednu z nevýhod používání Matlabu.

V dalších grafech pro větší názornost odstraníme zmíněné první volání. Další grafy tak zobrazují o jedno opakování experimentu méně.

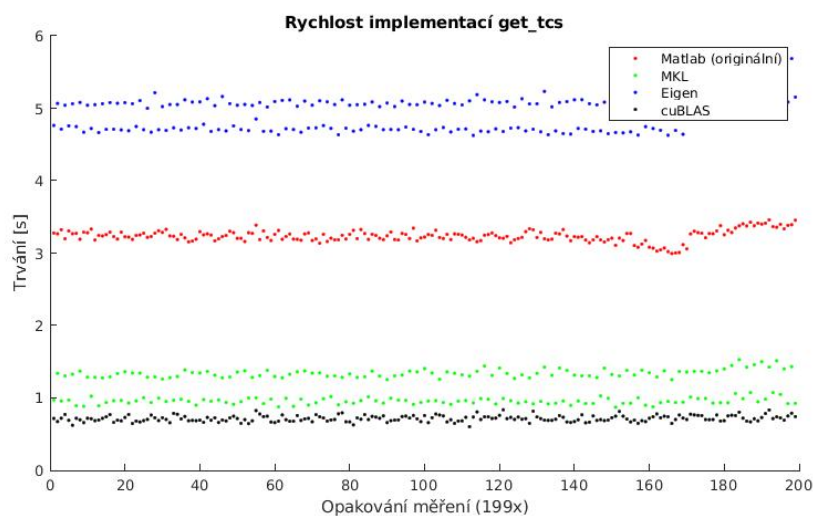


Obrázek 7.2: Porovnání výkonu `at_dense_tc` s variantami `get_tcs` na malé úloze

V této úloze dosáhla nejlepšího výkonu varianta `get_tcs_eigen`. Varianta `get_tcs_mkl` je také stále velmi výkonná, přibližně dvakrát rychlejší než původní funkce Matlabu `at_dense_tc`. `cuBLAS` dosáhl ve většině volání lepšího výkonu než původní funkce `at_dense_tc`, ale v některých voláních dopadl nejhůře. Pro menší úlohy nevykazuje implementace s GPU stabilní výkon, proto v těchto případech nebude využívána.

■ Střední úloha

V této úloze se hledají tentativní korespondence mezi maticí 7500×512 oproti stovce matic téhož rozměru. Simuluje to situaci, kdy máme jeden dotazový snímek (512 deskriptorů délky 7500) a 100 databázových snímků (pro každý 512 deskriptorů délky 7500). Tato situace se v algoritmu `InLoc` nevyskytuje a slouží jen k porovnání výkonu jednotlivých implementací.

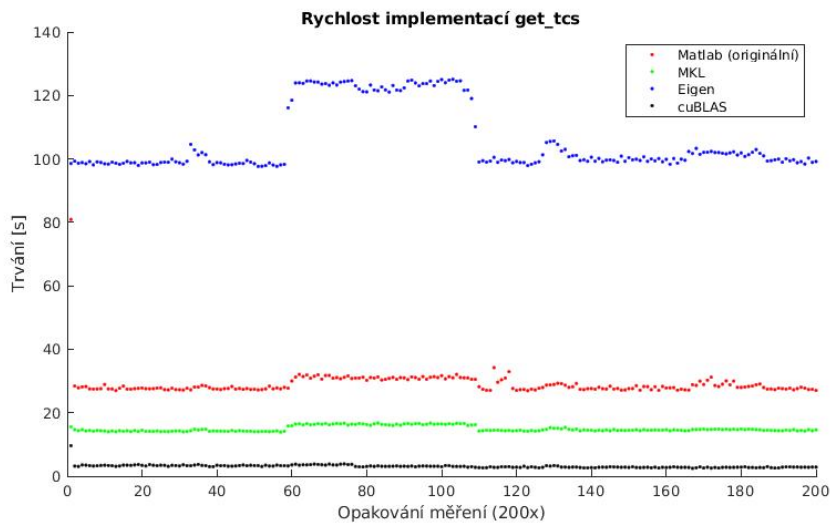


Obrázek 7.3: Porovnání výkonu `at_dense_tc` s variantami `get_tcs` na středně velké úloze

Větší úlohy hledání tentativních korespondencí ukazují, že je pro ně výhodnější využít výpočetní síly GPU, tedy použít variantu `get_tcs_cublas`. Varianta `get_tcs_mkl` je pomalejší, ale stále podstatně lepší než původní funkce Matlabu `at_dense_tc`. Nejnižšího výkonu dosáhla varianta `get_tcs_eigen`. Graf také ukazuje, že všechny čtyři testované funkce mají ve větších instancích úlohy jen malé výkyvy ve výkonu.

■ Velká úloha

V této úloze se hledají tentativní korespondence mezi maticí 512×7500 oproti stovce matic téhož rozměru. Tato úloha se skutečně v algoritmu InLoc objevuje a její výsledky jsou pro výběr implementace zásadní. Simuluje to situaci, kdy máme jeden dotazový snímek (7500 deskriptorů délky 512) a 100 databázových snímků (pro každý 7500 deskriptorů délky 512)



Obrázek 7.4: Porovnání výkonu `at_dense_tc` s variantami `get_tcs` na velké úloze

Velká úloha hledání tentativních korespondencí ukázala, že implementace `get_tcs_eigen`, tak jak byla zkompileována, dosahuje nejnižšího výkonu a úloha trvá obvykle 100 sekund a více. Varianta `get_tcs_mkl` a původní `at_dense_tc` dosahují násobně lepšího výkonu. Běh `get_tcs_cublas`, který využívá výpočetního výkonu GPU, trvá méně než 5 sekund, což je mnohem méně než u ostatních implementací.

■ Výsledek experimentu

Měření ukázalo, že pro velké instance úlohy hledání tentativních korespondencí je využití GPU zásadní, neboť se řádově zkrátí doba běhu. Pro malé instance se naopak vyplatí nechat výpočet na CPU. Původní funkce `at_dense_tc` v žádném experimentu nedosáhla nejvyššího výkonu, proto je na všech místech nahrazena.

Kapitola 8

Závěr

8.1 Úpravy implementace algoritmu

Implementace algoritmu byla upravena tak, aby simulovala reálný běh, což je posun od původní testovací verze směrem k reálnému využití. Díky tomu bylo možné určit vhodné části k úpravě či přepsání do C++. Upravená implementace si zachovala ukládání mezivýsledků do souborů pro testování a ladění. Je však určena k simulaci reálného běhu algoritmu. Úprava implementace zahrnovala:

1. Oddělení role databázového a dotazového snímku:
 - Dotazový snímek je jen jeden, v algoritmu se již nikde nepracuje se seznamy dotazových snímků
 - Matice skóre je předem neznámá, proto byly výpočet skóre podobnosti a extrakce features zařazeny do algoritmu.
 - Z přípravných kroků byly odstraněny všechny analýzy dotazových snímků
2. Není nutné ukládat mezivýsledky do souborů. Tato možnost sice nebyla odstraněna z důvodu nutnosti extrahovat různé informace a grafy, nicméně ukládání je možné vypnout.
3. Je možno vypnout možnost načítání mezivýsledků ze souborů – pak je nutné spustit algoritmus od začátku, což simuluje reálný běh.

8.2 Zrychlení upravené implementace

Variant zrychlení algoritmu bylo vyzkoušeno několik:

1. Přepis některých částí do C++
 - Výkony všech variant přepsané funkce popisují obrázky 7.1, 7.2, 7.3, 7.4
2. Nalezení typických úloh pro InLoc (a jemu podobné algoritmy), které lze zpracovávat na GPU.
 - Tento bod souvisí i s přepisem do C++. Pomocí cuBLAS a CUDA je možné přesunout vhodné úlohy na GPU a tím novou implementace ještě více zrychlit.
3. Vybráním nižšího počtu nejpodobnějších snímků a renderování nižšího počtu syntetických snímků.
 - Rozsáhlejší databáze snímků RGB-D umožní snížit počty nejpodobnějších snímků a renderů, ale zachová se přesnost.

Výkon nezrychlené produkční verze je detailně rozepsán v tabulce 7.3, výkon zrychlené v tabulce 7.4.

Nemá smysl zrychlovat algoritmus pro přípravu databáze (skript build-Features), protože příprava databáze není součástí algoritmu. Databáze se připravuje pouze jednou při instalaci InLocu a nepředpokládají se žádné její změny. Algoritmus při každém běhu už předpokládá existenci připravené databáze.

8.3 Typické chyby InLocu

Byly prodiskutovány typické chyby algoritmu, které se projevily v kapitole 6. Práce rovněž nabízí a diskutuje jejich nápravu.

■ 8.4 Souvislost mezi velikostí databáze a snížením hodnoty m

Je možné rychlost běhu efektivně zkrátit tím, že se sníží hodnota m , nicméně to má negativní dopad na přesnost. Experimenty ukázaly, že tento dopad lze poměrně snadno vykompenzovat zvětšením datasetu, protože velikost datasetu má na přesnost větší vliv. Samozřejmostí je zahrnout každé místo ve zmapovaném prostředí z různých úhlů pohledu.

Příloha A

Literatura

- [1] P. Lučivňák, “Visual localization with hololens,” Master’s thesis.
- [2] P. Lučivňák, “Výzkumná implementace inloc.” https://github.com/lucivpav/InLocCIIRC_demo. [cit. 19.5.2021].
- [3] VLFeat, “Vlfeat, phow descriptors.” <http://3dvision.princeton.edu/pvt/depthImproveStructureIO/lib/vlfeat/doc//overview/dsift.html>. [cit. 18.5.2021].
- [4] P. Lučivňák, “Přípravné kroky pro výzkumnou implementaci algoritmu inloc.” https://github.com/lucivpav/InLocCIIRC_dataset. [cit. 18.5.2021].
- [5] R. Arandjelović, P. Gronat, A. Torii, T. Pajdla, and J. Sivić, “Netvlad: Cnn architecture for weakly supervised place recognition.” <https://arxiv.org/abs/1511.07247>. [cit. 18.5.2021].
- [6] Y. W. Yeong, “Netvlad: Cnn architecture for weakly supervised place recognition.” <https://towardsdatascience.com/netvlad-cnn-architecture-for-weakly-supervised-place-recognition-ce64b08bebafe>. [cit. 18.5.2021].
- [7] “Dokumentace rozhraní blas.” <http://www.netlib.org/blas>. [cit. 13.12.2021].
- [8] NVIDIA, “Dokumentace knihovny cublas.” <https://docs.nvidia.com/cuda/cublas/index.html>. [cit. 17.5.2021].
- [9] Intel, “Dokumentace knihovny mkl.” <https://software.intel.com/content/www/us/en/develop/articles/intel-math-kernel-library-documentation.html>. [cit. 17.5.2021].

Příloha B

Zdrojové kódy

Veškeré kódy jsou dohledatelné na Gitu.

■ Algoritmus InLoc

Všechny tři varianty InLocu, kterými se tato práce zabývala, se nachází na této adrese v různých větvích:

`https://github.com/dubenma/localization_service.git`

1. Původní výzkumná/testovací verze:
 - branch: sebera
 - commit: Initial commit; f340ac4703bd753ee5b057a7acd87c9966228fd3
 - Tato větev nebyla touto prací nijak pozměněna a ukazuje stav InLocu před zahájením této práce.
2. Nová produkční verze:
 - branch: sebera_produkcni
 - commit: 671ada49cb799d8d428734567cc522bc3bc680c7
3. Nová zrychlená produkční verze:

- branch: sebera_produkcni_speedup
- commit: 6b5f0289c4b9da4310dac31aa1fcfce087a90964

■ Implementace get_tcs_*

Všechny tři implementace get_tcs_* jsou zabaleny do přílohy této práce. Všechny tři varianty get_tcs_*, kterými se tato práce zabývala, se nachází na této adrese v různých větvích:

https://gitlab.com/xmartin.sebera/inloc-get_tcs

1. MKL:

- branch: MKL
- commit: 1a91472b4ffa0937005199d22959586c569d55fc

2. cuBLAS:

- branch: cuBLAS
- commit: 82aa341f3d2459086d83f972c36244c3ad61f4ca

3. Eigen:

- branch: EigenOMP
- commit: 45253a2d6bd20fa07a751494673a62a17685d787

I. OSOBNÍ A STUDIJNÍ ÚDAJE

Příjmení: **Sebera** Jméno: **Martin** Osobní číslo: **466120**
Fakulta/ústav: **Fakulta elektrotechnická**
Zadávající katedra/ústav: **Katedra kybernetiky**
Studijní program: **Otevřená informatika**
Specializace: **Počítačové vidění a digitální obraz**

II. ÚDAJE K DIPLOMOVÉ PRÁCI

Název diplomové práce:

Zrychlení lokalizace pomocí knihovny InLoc

Název diplomové práce anglicky:

Speedup the Localization by InLoc Method

Pokyny pro vypracování:

1. Seznamte se s lokalizační metodou InLoc.
2. Vyhodnoťte rychlost předzpracování dat a běhu pro jeden dotaz vzhledem k velikosti databáze.
3. Najděte nejpomalejší části kódy a navrhněte postup pro jejich zrychlení (např. přepis do jazyka C++).
4. Aplikujte navržené metody pro urychlení lokalizace.
5. Porovnejte čas potřebný pro přípravu databáze a samotného vyhledávání pozice před a po Vašich vylepšeních.

Seznam doporučené literatury:

- [1] Taira, Hajime, et al. "InLoc: Indoor visual localization with dense matching and view synthesis." Proceedings of the IEEE Conference on Computer Vision and Pattern Recognition. 2018.
- [2] Arandjelovic, Relja, et al. "NetVLAD: CNN architecture for weakly supervised place recognition." Proceedings of the IEEE conference on computer vision and pattern recognition. 2016.
- [3] Torii, Akihiko, et al. "24/7 place recognition by view synthesis." Proceedings of the IEEE Conference on Computer Vision and Pattern Recognition. 2015.

Jméno a pracoviště vedoucí(ho) diplomové práce:

Ing. Michal Polic, aplikovaná algebra a geometrie CIIRC

Jméno a pracoviště druhé(ho) vedoucí(ho) nebo konzultanta(ky) diplomové práce:

Datum zadání diplomové práce: **17.01.2021**

Termín odevzdání diplomové práce: **04.01.2022**

Platnost zadání diplomové práce: **30.09.2022**

Ing. Michal Polic
podpis vedoucí(ho) práce

prof. Ing. Tomáš Svoboda, Ph.D.
podpis vedoucí(ho) ústavu/katedry

prof. Mgr. Petr Páta, Ph.D.
podpis děkana(ky)

III. PŘEVZETÍ ZADÁNÍ

Diplomant bere na vědomí, že je povinen vypracovat diplomovou práci samostatně, bez cizí pomoci, s výjimkou poskytnutých konzultací. Seznam použité literatury, jiných pramenů a jmen konzultantů je třeba uvést v diplomové práci.

Datum převzetí zadání

Podpis studenta